



ORKUSTOFNUN  
Jarðhitadeild

## NESJAVELLIR

**Þættir af ummyndun í jarðhitakerfi**

Hjalti Franzson

Samvinnuverk Orkustofnunar og Hitaveitu Reykjavíkur

OS-94021/JHD-06

Mars 1994



**ORKUSTOFNUN**  
Grensásvegi 9, 108 Reykjavík

Verknr. 730 006

## **NESJAVELLIR**

**Pættir af ummyndun í jarðhitakerfi**

Hjalti Franzson

Samvinnuverk Orkustofnunar og Hitaveitu Reykjavíkur

OS-94021/JHD-06

Mars 1994

ISBN 9979-827-45-9

## ÁGRIP

Þessi skýrsla fjallar um túlkun á hluta þeirra gagna sem safnað hefur verið um ummyndun í jarðhitakerfi Nesjavalla. Athugun á ummyndun glers í berginu bendir til að gler geti haldist að einhverju leyti ferskt niður undir efri skil blandlagabeltis. Háhitumyndun plagsóklasa hefst með leirsprungumyndun við efri mörk blandlagabeltis. Við efri mörk klórítbeltis verður fyrst vart við ummyndun plagsóklasa yfir í albít. Ummyndun málmsteinda í sphen hefst einnig við efri mörk klórítbeltis. Kristalgerð leirs í holrými bergsins er hitaháð. Pannig einkennir leirskán holrými í efri hluta smektst-zeólitabeltis, fínfjaðra leir í miðhluta og í neðri hluta sama beltis verður leirinn gróffjaðra. Við efri mörk blandlagabeltis verður leirinn, í þunnsneið séð, hápleókróiskur, og við efri skil á klórítbelti verður vart við daufpleókróiskan leir. Af athugun á röðun útfellinga í holrými má kanna hvernig jarðhitakerfið á Nesjavöllum hefur þróast í tímans rás. Greina má meðal annars allt að fjögur tímabil háhitavirkni, og eru settar fram hugmyndir að tímasetningu þeirra. Samanburður á ummyndunarhita og berghita bendir til að hluti jarðhitakerfisins sé að hitna meðan aðrir hlutar kerfisins eru að kólna.

## EFNISYFIRLIT

ÁGRIP	2
1. INNGANGUR	5
2. BERGUMMYNDUN	5
2.1 Ummyndun glers	7
2.2 Ummyndun plagfóklasa	7
2.3 Ummyndun málmsteinda	8
3. KRISTÖLLUN LEIRS Í HOLRÝMI	13
4. TÍMASKEIÐ Í JARÐHITAKERFINU	19
4.1 Þróun jarðhitakerfis	19
4.2 Frávik í röðun útfellinga	22
5. SAMANBURÐUR UMMYNDUNAR OG BERGHITA	24
6. UMRÆÐA	28
7. HELZTU NIÐURSTÖÐUR	31
8. FREKARI RANNSÓKNIR	32
9. HEIMILDASKRÁ	33
VIÐAUKI: Tafla 2. Röðun útfellinga í holrými	37

## MYNDIR

1. Staðsetning borhola og sniðlínur	6
2. Sniðlína A-A'. Ummyndunarbelti og bergummyndun	10
3. Sniðlína B-B'. Ummyndunarbelti og bergummyndun	11
4. Sniðlína C-C'. Ummyndunarbelti og bergummyndun	12
5. Sniðlína D-D'. Ummyndunarbelti, vatnsæðar og bergummyndun. Samanburður ummyndunar og berghita og kalsftummyndun bergs	15
6. Sniðlína A-A'. Ummyndunarbelti, vatnsæðar og kristöllun leirs	16
7. Sniðlína B-B'. Ummyndunarbelti, vatnsæðar og kristöllun leirs	17
8. Sniðlína C-C'. Ummyndunarbelti, vatnsæðar og kristöllun leirs	18
9. Próun jarðhitakerfisins á Nesjavöllum	23
10. Sniðlína A-A'. Samanburður ummyndunar- og berghita, og kalsftummyndun bergs	25
11. Sniðlína B-B'. Samanburður ummyndunar og berghita, og kalsft-ummyndun bergs	26
12. Sniðlína C-C'. Samanburður ummyndunar- og berghita, og kalsftummyndun bergs	27
13. Tengsl bergummyndunar og kristöllunar leirs við ummyndunarbelti	30

## TÖFLUR

1. Lagskipting leirs í holu 6	14
2. Tímaröðun steinda í holrými í borholum	(í viðauka)
3. Ummyndun zeólíta	21

## 1. INNGANGUR

Í samantektarskýrslu um jarðfræði jarðhitakerfisins á Nesjavöllum (Hjalti Franzson 1988) var fjallað að meginhluta um eðli lektar í berggrunninum á jarðfræðilegum forsendum. Í þeirri umfjöllun voru niðurstöður athugana á ummyndun bergsins hafðar til hliðsjónar. Hér er ætlunin að bera á borð nokkuð af þeim ummyndunargögnum sem skýra og auka við fyrri túlkun. Umfjöllun einskorðast við núverandi gagnasafn, en frekari greiningar og endurskoðun eða endurtekning greininga til að fylgja eftir og sannreyna hugmyndir biða betri tíma. Gögnin hafa verið tekin úr þeim skýrslum sem gefnar hafa verið út um jarðhitakerfið á Nesjavöllum, og er skrá yfir þær skýrslur í heimildalista. Tölverður hluti gagnanna kemur úr frumgagnasafni hverrar holu.

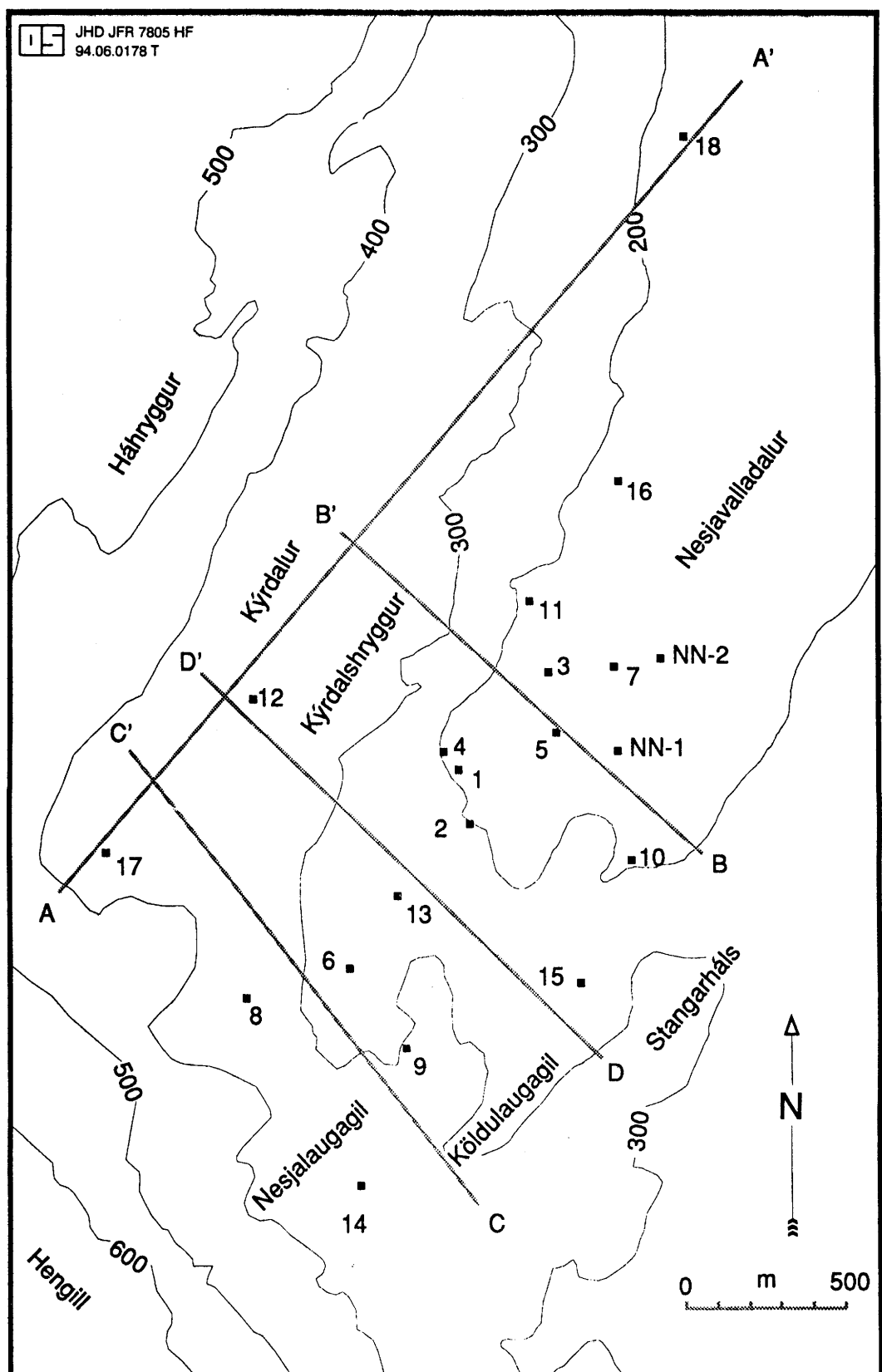
Skýrslunni er skipt í 8 kafla. Í kafla 2 er bergummyndun lýst, sérstaklega hvernig ummyndun plagióklasa, málmsteinda og glers tengist inn í stöðluð ummyndunarbelti. Í þriðja kaflanum eru sett fram ýmis ummyndunargögn sem safnað hefur verið á Nesjavöllum en ekki unnið tími til að vinna úr og útfæra frekar. Einkum er um að ræða lýsingar á kristöllun leirs samkvæmt þunn-sneiðum og svarfi. Í kafla 4 er fjallað um og endurskoðuð tímaröðun steinda í holrými bergs og sett fram heildarmynd af þróun jarðhitakerfisins á Nesjavöllum. Í 5. kafla er gerður samanburður á mældum berghita og ummyndunarrita og kortlögð þau svæði þar sem misræmis verður vart. Nokkur atriði eru krufin frekar í umræðukafla (6) og helstu niðurstöður eru settar fram í kafla 7. Tillögur að frekari rannsóknum eru sðan raktar í kafla 8.

## 2. BERGUMMYNDUN

Ummundun bergs er háð aldri þess, poruhluta, lekt og hita. Ummundun upphleðslubergs (gosbergs) eykst er neðar kemur í berglagastaflann, en innskot, sem eru bæði yngri og yfirleitt mun þéttari bergeiningar en gosbergið sem það treðst inn í, hafa ummyndazt minna. Á Nesjavöllum eykst fjöldi innskota er neðar dregur í berglagastaflann, og nálgast 100% á um 2000 m dýpi. Svið aukning innskota með dýpi hefur komið fram á öðrum háhitasvæðum. Athuganir, sem meðal annars hafa verið gerðar í holu 17 á Nesjavöllum, staðfesta að innskotin eru mun ferskari en gosbergið sem það treðst inn í. Berg neðst í holu 11, þar sem hæstur hiti hefur fundist á Nesjavallasvæðinu ( $> 380^{\circ}\text{C}$ ), er ráðandi innskot, og er ummyndun þar takmörkuð (Benedikt Steingrímsson o.fl. 1990).

Gögnin, sem safnað hefur verið saman í þessa skýrslu og varða bergummyndun og leirkristöllun, hafa flest verið sett inn á þversnið og eru sniðlínur sýndar á mynd 1. Ummundunarbelti sem sýnd eru í þversniðunum (myndir 2-8 og 10-12) eru tekin nær óbreytt úr skýrslu Hjalta Franzsonar (1988), nema ummyndunarbelti eftir sniðlinu D-D' (mynd 5) sem gert var sérstaklega í þessu verki.

Stærð og lega vatnsæða hefur einnig verið felld inn í sniðin á myndum 5-8 og 10-12. Áhrif vatnsæða á skil ummyndunarbelta eru ótvíræð og finnast þær gjarnan nærri beltaskilum og í mjóum ummyndunarrásum í efri hluta berglagastaflans. Þær lýsa þar með ástandi upphitunar og aukinnar ummyndunar, og ekki sízt nánum skyldleika ummyndunar við núverandi vatnslekt. Athyglisverð frávik eru þó á þeirri reglu því engar vísbendingar eru um vatnsæðar við beltaskil ofan epidót-amfiból beltis í holu 10, og við blandlagaskilin í holum 17 og 12. Pessar þrjár holor liggja allar við jaðra jarðhitakerfisins. Ekki er ljóst af hverju engar vatnsæðar sjást á þessum skilum.



Mynd 1. Staðsetning borhola og sniðlína.

Bergummyndun hefur kerfisbundið verið athuguð í holum 6, 7, 8, 9, 12 og 17, en minna í öðrum holum. Meiri áherzla var lögð á ummyndun gosbergsins en innskotsbergsins. Helst var athuguð ummyndun glers, plagióklasa og sums staðar ummyndun magnetits (sjá myndir 2-5). Athugun á ummyndun ólivíns og pýroxens var þeim annmörkum háð að það fyr nefnda reyndist ekki nægilega algengt til að unnt væri að fylgja breytingum eftir samfellt niður í berggrunninn. Ummyndun ólivíns virðist þó svipuð og glers. Ummyndun pýroxens er fremur ógreinileg í þunnsneiðum þar eð hún virðist koma smám saman og dreifast sem smá leiragnir um allan kristallinn og fá þannig með aukinni ummyndun stigvaxandi þokkenndan blæ. Ummyndun pýroxens virðist í heildina tekið vera ámóta og plagióklasa, og var þess vegna, líkt og með ólivín, ekki lögð áherzla á að fylgja henni nánar eftir hér. Þó er vert að minnast á áhugaverða ummyndun pýroxens í grófkristölluðu dforstinnskotunum (Hjalti Franzson 1988), þar sem viða sést amfsbólkápa utan á pýroxeninum. Þessi ummyndun getur hafa orðið annað hvort meðan á kristöllun pýroxensins stóð, og þá vegna þess að jarðhitavökvinn flædir inn eftir innskotinu meðan á kristölluninni stendur, eða að amfsból verður til við ummyndun pýroxensins eftir að dforstið hefur kristallazt. Svipaðri kristöllun amfsbóls hefur verið lýst í rofinni eldstöð í Geitafelli (Guðmundur Ómar Friðleifsson 1983). Amfsból-ummyndun pýroxens er einnig áberandi innan innskota neðst í holu 11 þar sem mestur hiti mælist. Vert er að hafa í huga þegar borin eru saman bergummyndun og ummyndunarbelti, að það fyr nefnda styðst mestmeginnis við svarf greiningu og/eða þunnsneiðagreiningu, en það sýðarnefnda mótað að miklu leyti af röntgengreiningum á leir. Dýpin, sem þunnsneiðarsýni eru tekin af annars vegar og röntgensýni hins vegar, eru oft mismunandi. Þar sem ummyndunarrásir eru viða þróngar í Nesjavallakerfinu, sérstaklega ofan klórst-epidótbeltisins, geta mismunandi sýnatökustaðir þunnsneiða og röntgensýna valdið einhverju misrämi.

## 2.1 Ummyndun glers

Gler er langalgengast í móbergsmýndunum sem eru ráðandi í efstu 600 m berglagastaflans, en minna í hraunlögum og innskotum dýpra í berggrunninum. Gler ummyndast að megninu til yfir í leir. Á myndum 2-5 eru dregnar fram upplýsingar á hvaða dýpi ferskt gler kemur fyrir og nefnt er í svarf- /þunnsneiðalýsingum. Meginniðurstaða er sú að þótt meirihluti glersins ummyndist innan smektít-zeolítabeltisins má finna vott af fersku gleri nær alls staðar innan þess beltis, en þegar niður í blandlagabelti er komið hefur allt gler ummyndatz. Samkvæmt því ætti gler að geta haldist ferskt upp að 200°C hita, en líklegt er að vatnslekt verði að vera lítil til að það haldist óummyndað. Athyglisvert er að ferskt gler er allt eins algengt í suðurhluta svæðisins, þar sem berghiti virðist mun hærri en ummyndun segir til um, og annars staðar þar sem ummyndun er í jafnvægi eða hærri en berghiti. Það gæti bent til að upphitunin í suðurhlutanum sé það "nýtilkomin", jarðsögulega séð að það hafi ekki enn náð að ummyndatz. Kalsítummyndunar á gleri verður sum staðar vart, sérstaklega við vatnsæðar í smektít-zeolítabeltinu. Sumir þessara staða eru merktir á myndum 10-12.

## 2.2 Ummyndun plagióklasa

Ummyndun plagióklasa virðist tengjast þremur tímaskeiðum. Elsta ummyndun hans er yfir í zeolíta og verður líklegast á þeim tíma þegar zeolítavirknin er sem mest (útfellingatímabil IV, sjá kafla 4 og mynd 9), og er hún mest áberandi í plagióklasafllum. Þessi ummyndun sést í holu 7 og sérstaklega í holu 17, en væntanlega finnst hún einnig í öðrum holum þótt ekki sé hennar getið í lýsingum. Meginummyndun plagióklasa fer líklegast fram á tímum háhitavirkninnar, og eru efri mörk þeirrar ummyndunar mest áberandi í tengslum við leir/kvars/prenít/wairakist út-

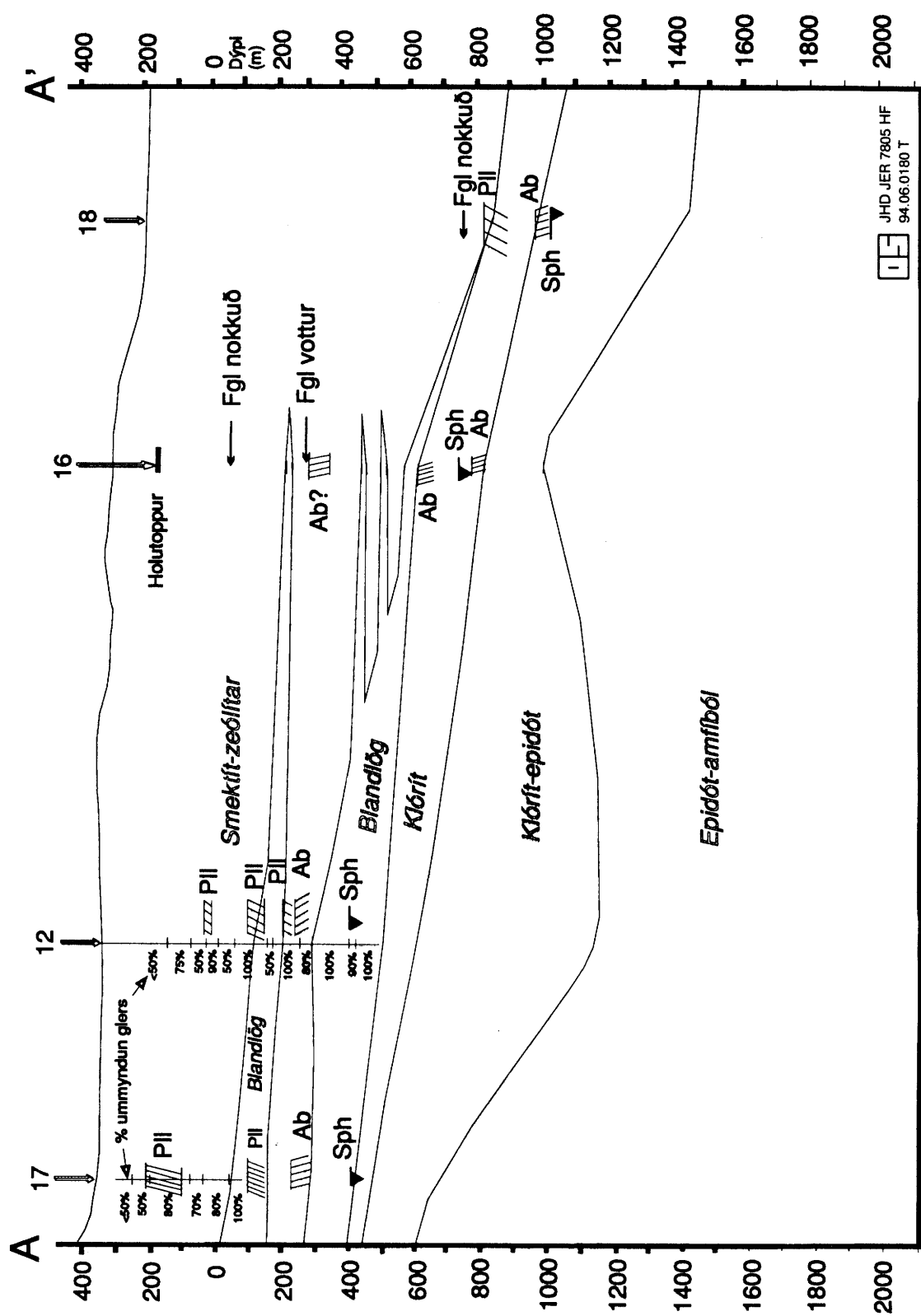
fellingatímabilið (V). Fyrsta stig þeirrar ummyndunar eru leirsprungur í plagióklasa. Leirinn er daufgrænn og lítið pleókrófskur, og svipar til einkenna klóríts. Upphaf leirmyndunar í plagióklasa virðist falla nokkuð saman við efri mörkin á blandlagabeltinu, e.t.v. eiltið ofan við það. Næsta stig er ummyndun plagióklasa yfir í alþit. Upphaf hennar fellur almennt saman við efri skil klórítbeltisins, eins og bezt sést í holum 3, 6, 7, 8, 9, 10, 11, 13, 14. Í Kýrdal virðist alþit byrja að myndast í afmörkuðum rásum innan blandlagabeltisins. Þriðja ummyndunartíma bil plagióklasa tengist kalsfti. Sísk ummyndun virðist helzt koma fyrir nærrí virkum vatnsæðum. Svipuð kalsítummyndun virðist koma fyrir í gleri og jafnvel pýroxen. Á myndum 10-12 er merkt við nokkra þá staði í borholunum þar sem sískri ummyndun hefur verið lýst. Auk áður nefndrar ummyndunar plagióklasa verður innan klóríst-epidót og epidót-amfísból beltisins vart ummyndunar hans í sphén, wairakít og epidót. Ekki hefur sérstaklega verið hugað að tengslum þessarar ummyndunar við aðra þætti í háhitakerfinu.

## 2.3 Ummyndun málmsteinda

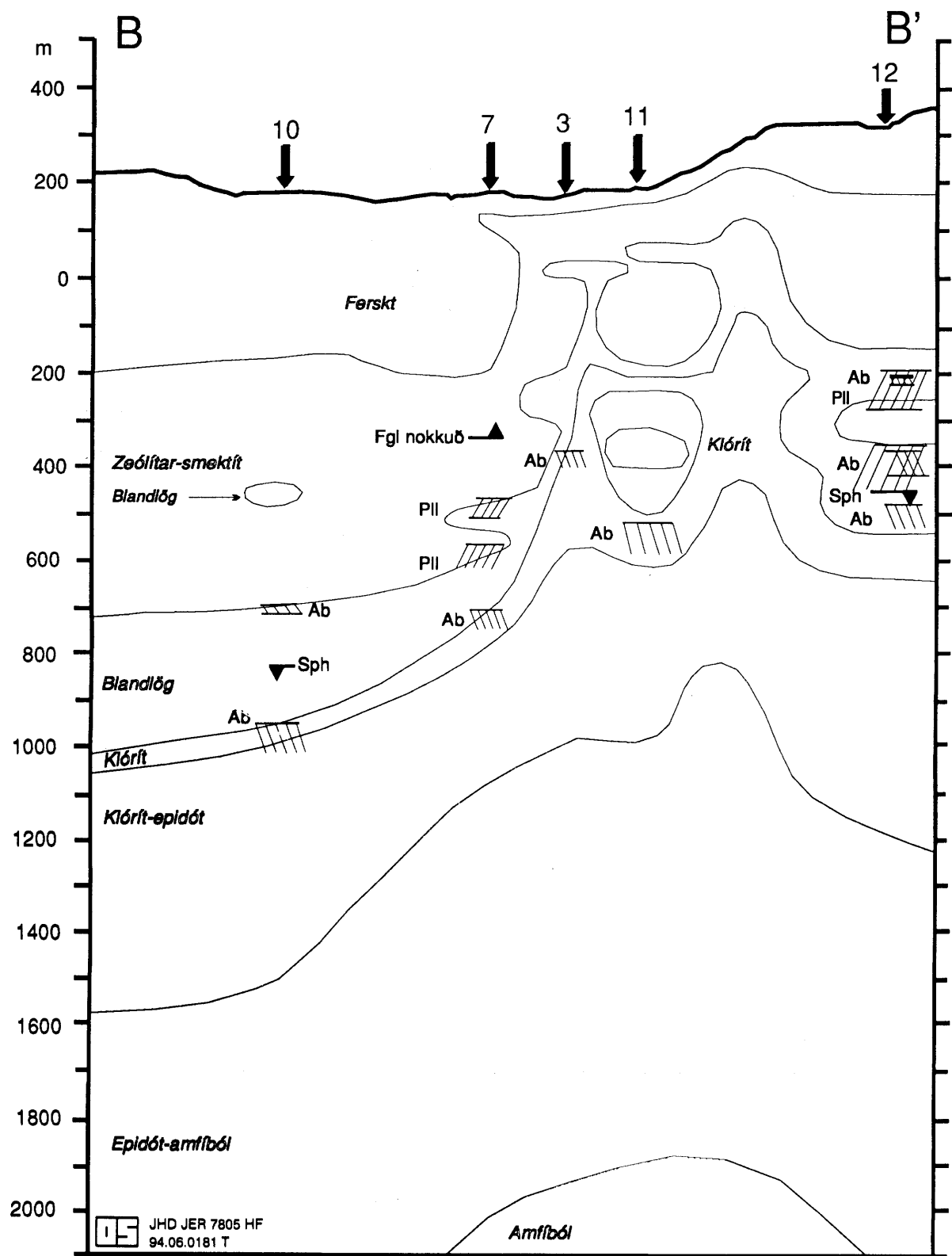
Málmsteindir í bergi, sem aðallega teljast vera magnetít og að einhveju leyti ilmenist ummyndast að mestu yfir í sphén. Ummyndun þeirra var fyrst gaumur gefinn í holu 7, en hefur verið að nokkru fylgt eftir í öðrum holum. Í holum 17, 12, 16 og 10 birtist sphén fyrst neðarlega í blandlagabeltinu, en í holum 14, 9 og 8 verður fyrst vart við sphén ofarlega í klórítbeltinu. Í holu 18 kemur það fyrst fyrir við klóríst-epidót mörkin. Athuga þyrfti nánar síðastöldu staðsetninguna.

## SKÝRINGAR VIÐ MYNDIR 2, 3, 4, 5, 6, 7, 8, 10, 11, 12

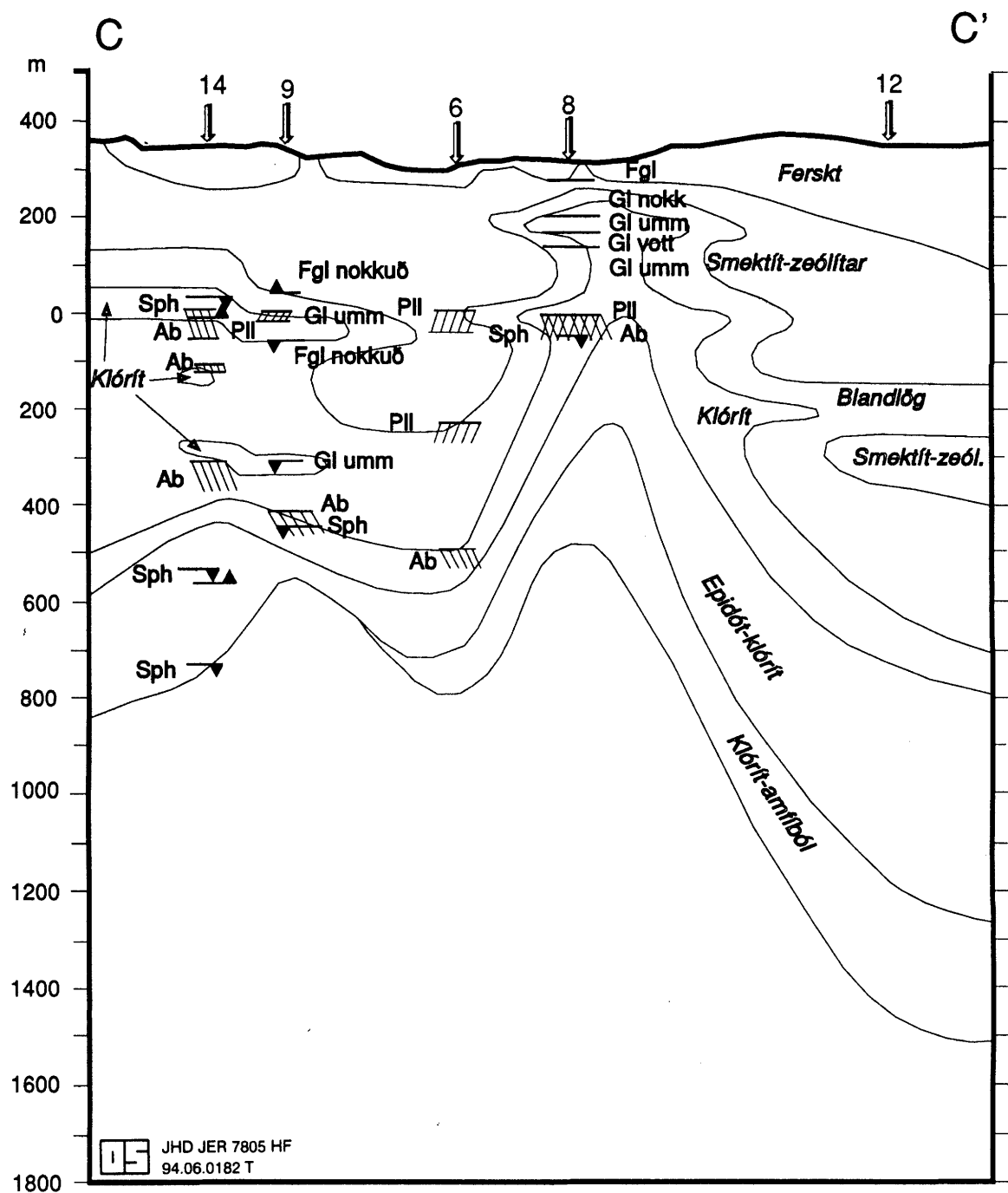
x	Stórvatnsæð		
-	Meðalvatnsæð		Myndir 5, 6, 7, 8, 10, 11, 12
-	Líttilvatnsæð		
Fgl	Ferskt gler		
Pll	Leirsprungur f plagioklas		
Sph	Sphen		
Ab	Albit		Myndir 2, 3, 4, 5
AmI	Leirskán		
/ / / / /	Efri mörk Pll		
\\\\\\\\	Efri mörk Ab		
■	Efri mörk steindar		
	Neöri mörk steindar		Myndir 2, 3, 4, 5, 6, 7, 8,
Ffl	Fínþjaðra leir		
Gfl	Gróffþjaðra leir		
Hpl	Hápleókróískur gróffþjaðra leir		Myndir 5, 6, 7, 8
Dgl	Daufragrænn gróffþjaðra leir		
[ ]	Jafnvægl berghita og ummyndunarhita		
L	Lítill munur	Hærri ummyndunarhiti en berghiti (Kónun)	
M	Mikill munur		Myndir 5, 10, 11, 12
L	Lítill munur	Lægri ummyndunarhiti en berghiti (Htnun)	
M	Mikill munur		
O	Kalsítummyndun á bergi		



Mynd 2. Sniðlína A-A'. Ummyndunarbelti og bergummyndun.



Mynd 3. Sniðlína B-B'. Ummyndunarbelti og bergummyndun.



Mynd 4. Sniðlína C-C'. Ummyndunarbelti og bergummyndun.

### 3. KRISTÖLLUN LEIRS Í HOLRÝMI

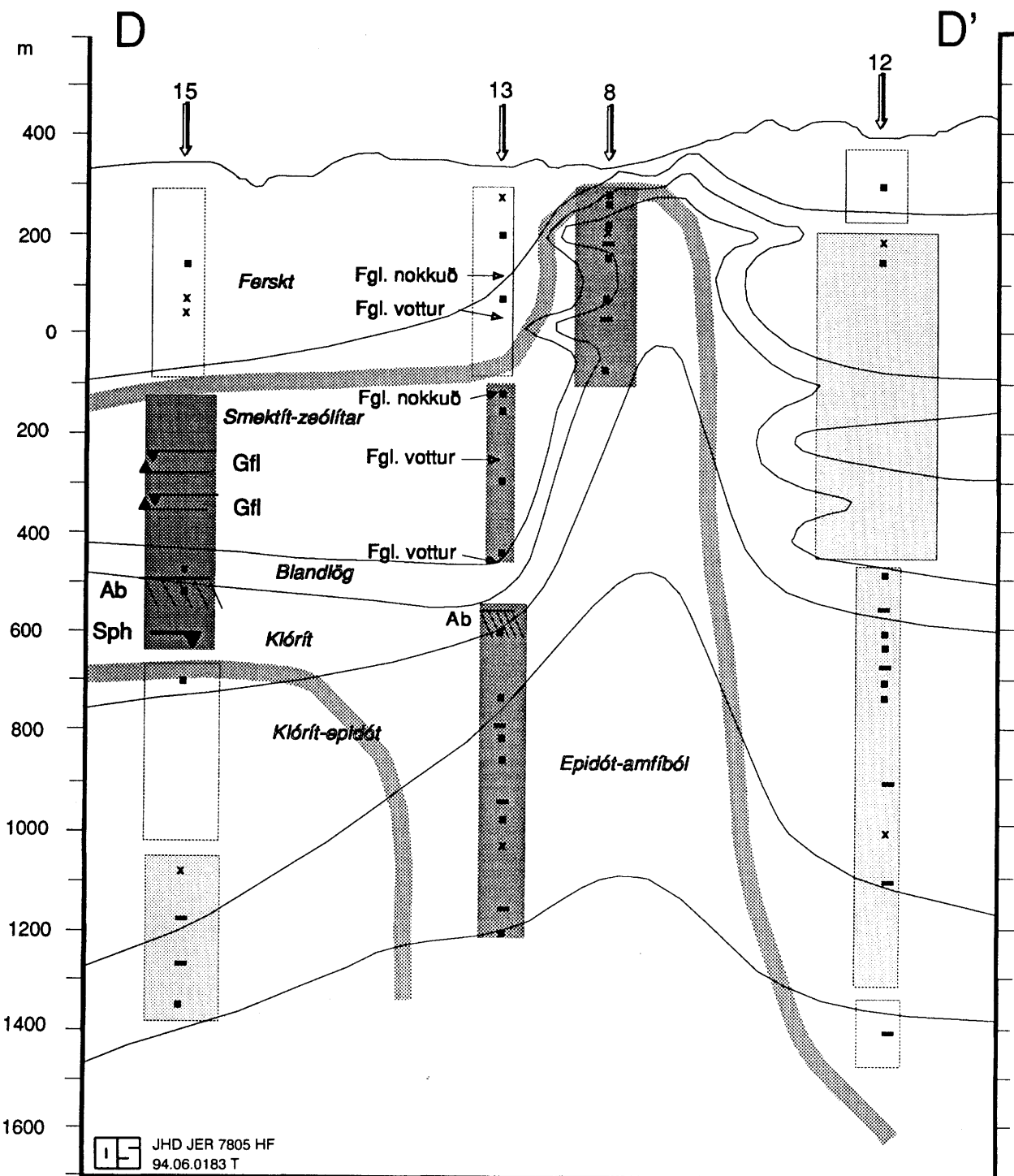
Gerð ummyndunarbeta hefur hingað til ráðist mjög af röntgengreiningu leirs. Leirinn er hristur úr bergsýnum og er því sýni úr öllu bergen, bæði sem ummyndun í bergen sjálfa og sem útfelling í holrými. Athugunin sem lýst er hér er tilraun sem hefur það að markmiði að tengja breytingar í kristalgerð leirsins í holrými bergsins við röntgengreiningarnar.

Í töflu 1 er sýnt hvernig rekja má kristalgerðir leirsins í tíma í holu 6. Svipuð gögn eru til úr holum 7, 8, 9, 12 og 17. Í töflunni er greint á milli fjögurra tegunda leirs. Sú sem fyrst fellur út í holrými er illa kristólluð leirskán (Aml). Einnig er dæmi um að leirset setjist í botn holrýmis. Leirskán, sem finnst allt niður á botn holu 6, sem og í öðrum holum er vefsending um lágan myndunarrita. Næsta stig er þunnt lag af fínfjöldruðum leir (Ffl) sem setzt utan á leirskánina. Ofan á það setzt gróffjaðra leir (Gfl) og enn neðar virðast optískir eiginleikar leirsins breytast og verður hann mjög bjartleitur og hápleókróískur (Hpl) (Ísklega er hér um að ræða blandleir). Í svarfgreiningu í vísjá virðist sá leir vera mjög dökkgrænn. Enn neðar má greina sama gróffjaðra leirinn verða daufgrænan og aðeins lítið eitt pleókróískan (Dgl), en það eru eiginleikar sem bezt eiga við klórst. Í vísjánni virðist sá leir vera mun ljósari en sá dökkgræni. Þessi röðun leirs í holrými segir þá sögu að berglögin hafi orðið fyrir stighækkandi hita frá dæmigerðri lághitavirkni til háhita. Þótt leirinn sé, þegar komið er niður í háan hita, orðinn að klórsti, má sjá á áðurnefndri kristalbyggingu hvort viðkomandi leir hafi upphaflega kristallazt sem lághita smektst, fínfjáðra eða gróffjaðra smektst, blandleir eða klórst.

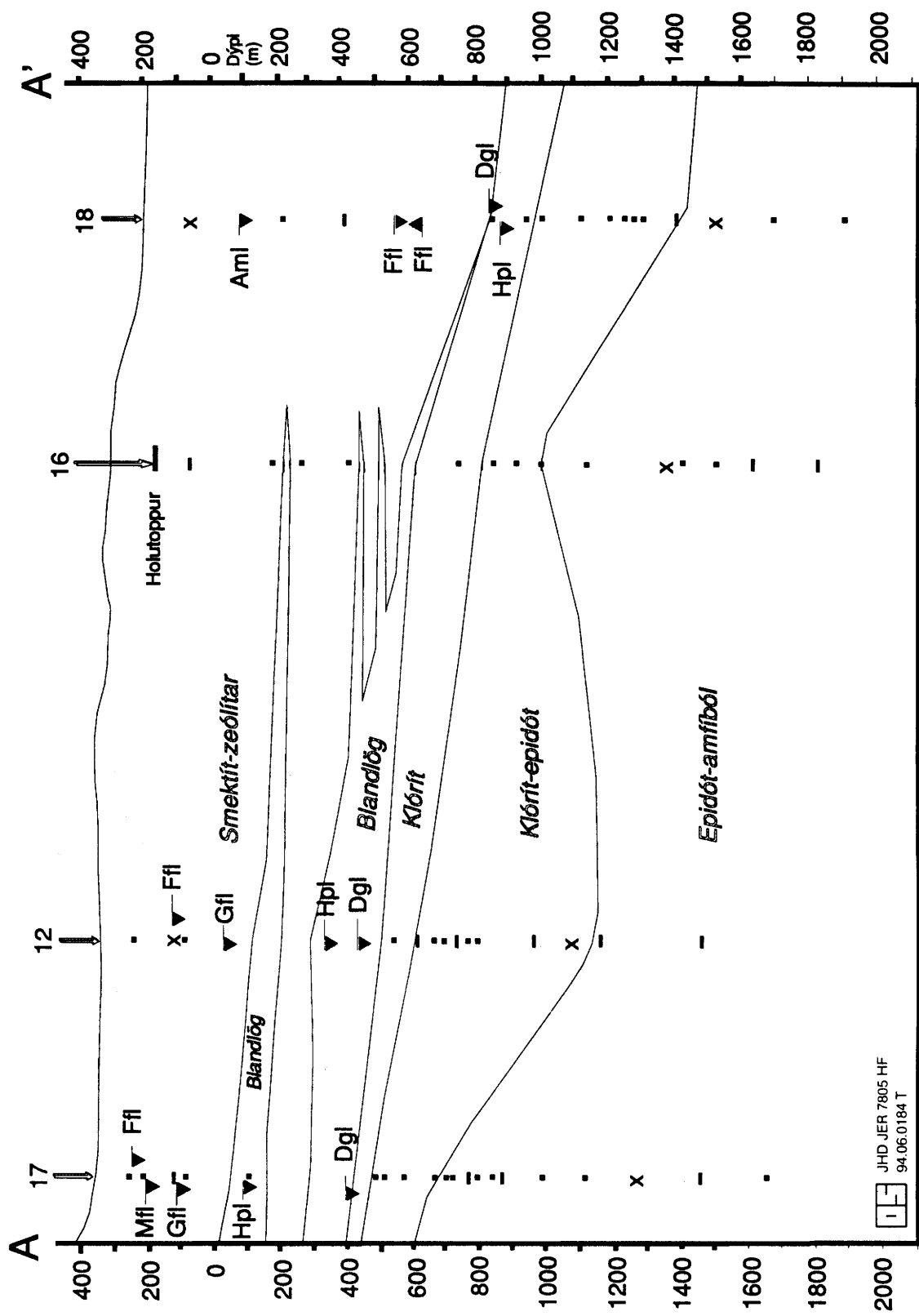
Frólegt þótti að taka saman tiltækar lýsingar og fella þær inn í ummyndunarbeltin, en sú belta-skipting byggist sem áður sagði að mestu leyti á röntgengreiningu leirsins. Þessi samanburður er sýndur á myndum 5-8. Leirskán virðist byrja að myndast um leið og komið er niður í zeólíta-smektítbelti. Ofan á það lag leggst fínfjáðra smektst. Þetta fínfjáðra smektst er svæðabundið innan smektí-zeólítabeltisins (t.d. við holu 6) og virðist háð hita og/eða lekt. Næsta stig er grófkristöllun leirsins, sem enn er smektst. Sumstaðar virðist vera samhangandi þróun í kristöllun frá fínfjáðra yfir í gróffjaðra leir, en annars staðar leggst nýr gróffjaðra leir ofan á þann fínfjáðra. Gróffjaðra leir (smektst) finnst í neðri helming smektí-zeólíta beltisins. Aðeins í holu 8 virðist gróffjaðra leir ekki finnast fyrr en komið er í blandlaga- og klórítbelti, og gæti það verið enn ein vísbendingin um hvað "yfirhitunin" í hluta jarðhitakerfisins er jarðfrædilega ung. Hápleókróískur gróffjaðra leir finnst yfirleitt fyrst nærri efri mörkum blandleirsins eins og hann greinist í röntgeni, en einnig virðast efri mörk hans geta legið eitthvað neðar og allt niður í klórítbeltið (t.d. í holu 8 og 18). Það sðarnefnda gæti stafað af fæð greininga. Daufgrænn gróffjaðra leir (Dgl) kemur yfirleitt fyrst fyrir neðan þess hápleókróísku (Hpl). Efri mörk hans virðist falla nærri efri mörkum klórítbeltisins, þótt ekki sé það einhlítt, því í holu 7 virðist hann finnast bæði við mörk blandlagabeltisins og rétt ofan marka klórí-epidótbeltisins.

Tafla 1. Nesjavellir. Lagskipting leirs í holu NG-6.

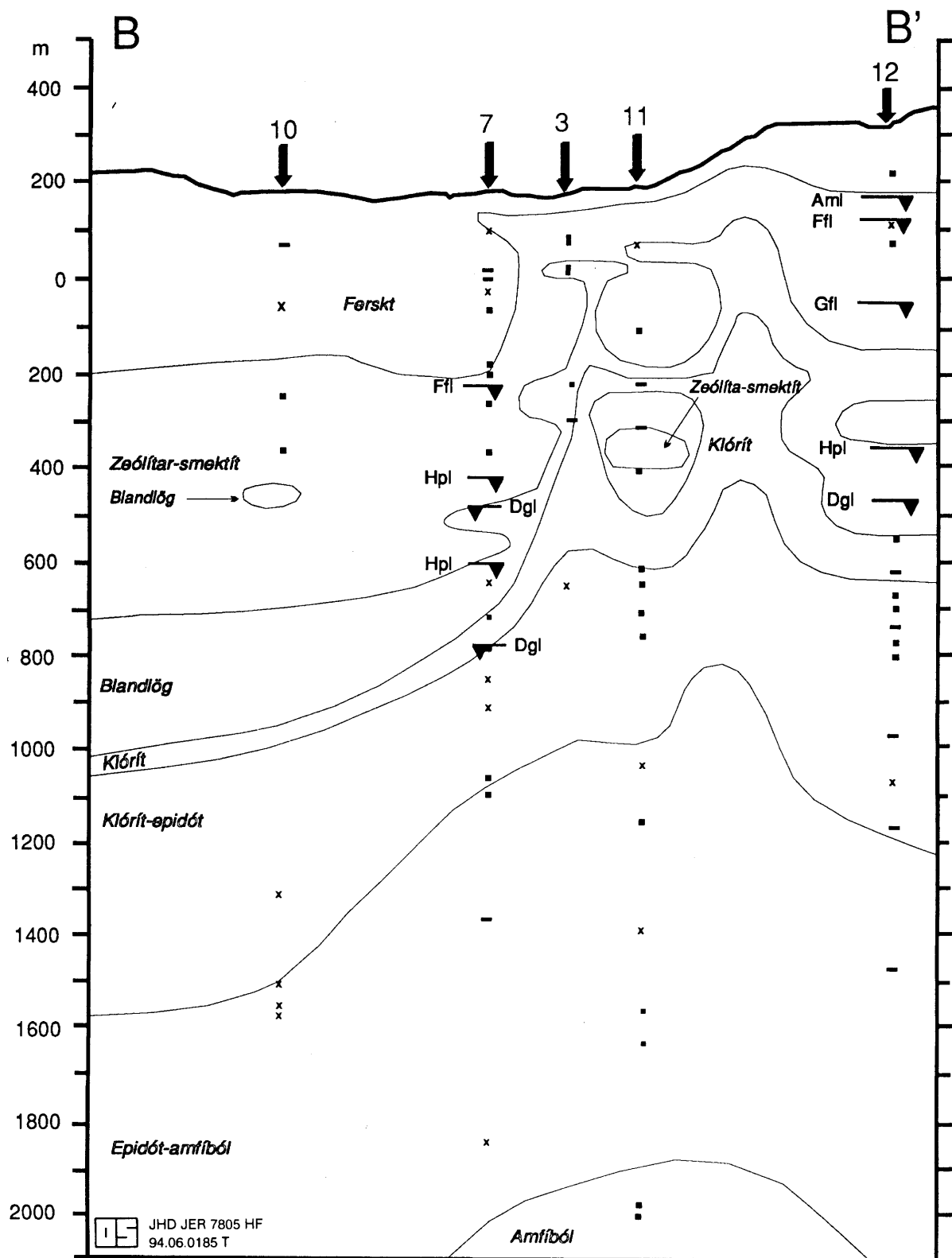
Dýpi (m)	Röðun leirs í holnými		
16	leirkán, amorf		
30	leirkán, amorf		
38	leirkán, amorf		
40	leirkán, amorf		
48	leirkán, amorf		
54	leirkán, amorf		
66	leirkán, amorf		
74	leirkán, amorf		
84	leirkán, amorf		
94	leirkán, amorf		
104	leirkán, amorf		
124	leirkán, amorf		
138	leirkán, amorf		
164	leirkán, amorf	flintjaðra	
165	leirkán, amorf	flintjaðra	
182	leirkán, amorf	flintjaðra	
194	leirkán, amorf	flintjaðra	
210		flintjaðra	
216	leirkán, amorf	flintjaðra	
225	leirkán, amorf	flintjaðra	
230	leirkán, amorf		
240	leirkán, amorf		
252	leirkán, amorf		
268	leirkán, amorf	flintjaðra	
284	leirkán, amorf		
310	set/leirkán, amorph		
	leirkán, amorf	flintjaðra	
336	leirkán, amorf	flintjaðra	
346		flintjaðra	
366	leirkán, amorf	flintjaðra	
388	leirkán, amorf	flintjaðra	
466	leirkán, amorf		
474		flintjaðra	
496		flintjaðra	
530	leirkán, amorf	flintjaðra	
538		flintjaðra	grófljaðra "smectit"
550	leirkán, amorf	flintjaðra	
554	leirkán, amorf		grófljaðra "smectit"
558	leirkán, amorf	fjáðrað sm	
566	leirkán, amorf	flintjaðra	
570		fjáðrað sm	grófljaðra "smectit"
574	leirkán, amorf	fjáðrað sm	
576	leirkán, amorf	flintjaðra	grófljaðra "smectit"
580	leirkán, amorf		grófljaðra "smectit"
582	leirkán, amorf		grófljaðra "smectit"
592		flintjaðra	
610	leirkán, amorf	flintjaðra	
622	leirkán, amorf	fjáðrað sm	
630			grófljaðra "smectit" gróflj. hápleókr
632			grófljaðra "smectit" gróflj. hápleókr
636		fjáðrað sm	grófljaðra "smectit" gróflj. hápleókr
648		flintjaðra	grófljaðra "smectit" gróflj. hápleókr
654	leirkán, amorf		
668		fjáðrað sm	
698			gróflj. hápleókr
714			grófljaðra "smectit"
722		fjáðrað sm	gróflj. hápleókr
730		flintjaðra	gróflj. hápleókr
742			gróflj. klórlitlegt + blandlagslegt gróflj. klórlitlegt + blandlagslegt
760	leirkán, amorf		
764	leirkán, amorf	flintjaðra	gróflj. hápleókr
768		flintjaðra	gróflj. hápleókr
776		flintjaðra	
780		flintjaðra	gróflj. hápleókr
792	leirkán, amorf		gróflj. hápleókr
798	leirkán, amorf		gróflj. hápleókr
808			gróflj. klórlitlegur
818	leirkán, amorf		gróflj. hápleókr
824	leirkán, amorf		gróflj. hápleókr
834			gróflj. hápleókr
848			gróflj. hápleókr
860			gróflj. klórlitlegur gróflj. hápleókr
868			gróflj. hápleókr
882		flintjaðra	gróflj. hápleókr
904			gróflj. hápleókr
912			gróflj. hápleókr
920			gróflj. hápleókr
930		flintjaðra	gróflj. hápleókr
936			gróflj. hápleókr
940			gróflj. hápleókr
952	leirkán, amorf		klórlit (daufgrænn og lítt pleókrólskur)
958			gróflj. hápleókr
966			gróflj. hápleókr
976			gróflj. hápleókr
988			gróflj. hápleókr
992			gróflj. hápleókr
1020			klórlit (daufgrænn og lítt pleókrólskur)
1038			gróflj. hápleókr
1044			gróflj. hápleókr
1062			klórlit (daufgrænn og lítt pleókrólskur)
1082			gróflj. hápleókr



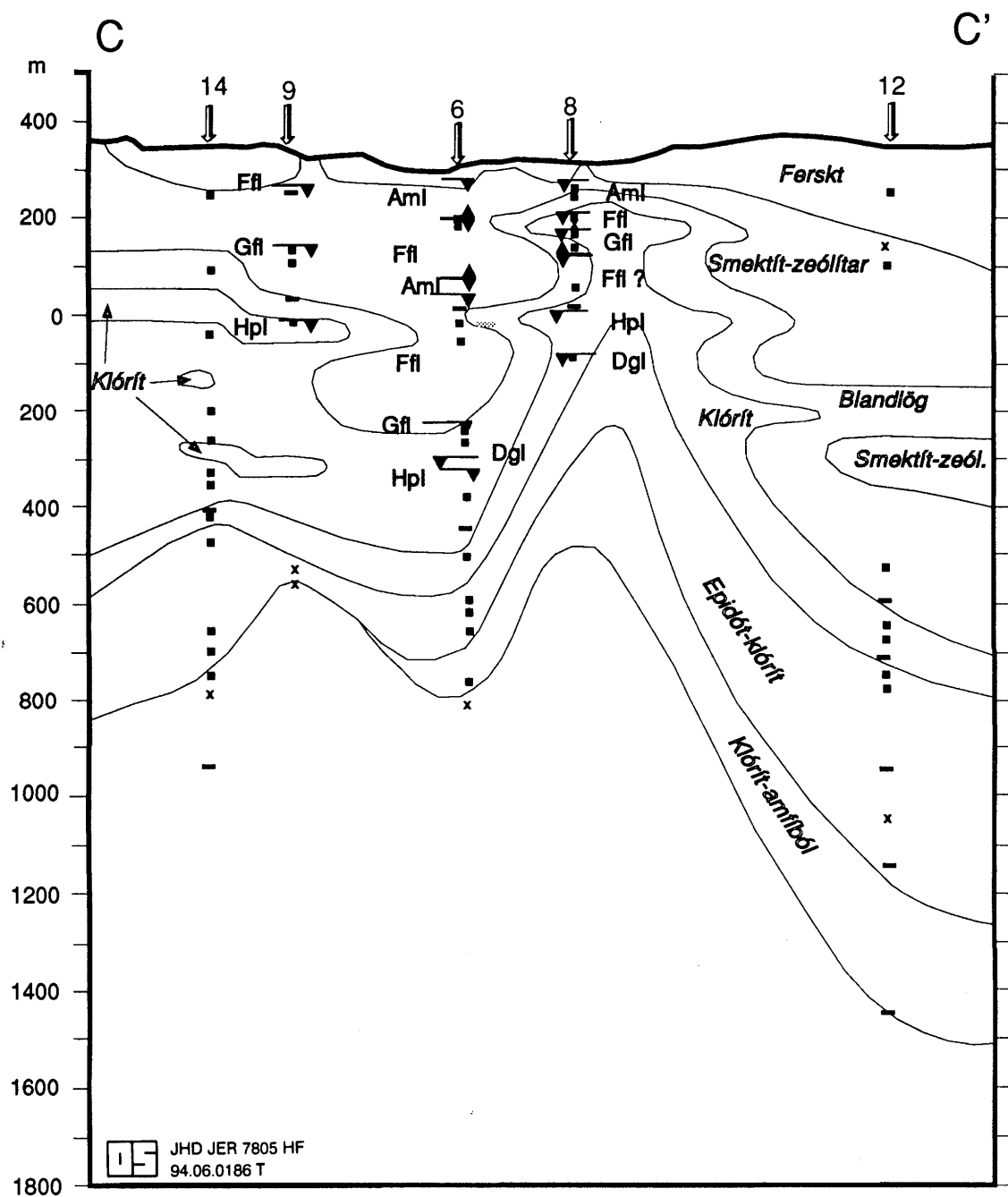
**Mynd 5.** Sniðlína D-D'. Ummyndunarbelti, vatnsæðar og bergummyndun. Samanburður ummyndunar og berghita og kalsítummyndun bergs.



Mynd 6. Sniðlína A-A'. Ummyndunarbelti, vatnsæðar og kristöllun leirs.



**Mynd 7.** Sniðlína B-B'. Ummyndunarbelti, vatnsæðar og kristöllun leirs.



**Mynd 8.** Sniðlína C-C'. Ummyndunarbælti, vatnsæðar og kristöllun leirs.

## 4. TÍMASKEIÐ Í JARÐHITAKERFINU

### 4.1 Þróun jarðhitakerfis

Ummyndun er flókið samspil milli jarðhitavökva og bergs. Einn þáttur þess samspils eru útfellingar í holrými bergsins. Röðun útfellinga í holrými getur gefið sterkar vísbendingar um ástand jarðhitakerfisins og þær breytingar sem orðið hafa á lfsftíma þess. Í rannsóknum á ummyndun í Nesjavallakerfinu var nokkuð hugað að hvernig útfellingarnar röðuðu sér og var þeim athugum að nokkru gerð skil í lokaskýrslum um holar NG-6 og NG-7. Mjög mismikil áherzla var lögð á slískar athugarir í einstökum holum enda e.t.v. ekki beint hluti af venjubundinni úrvinnslu gagna um borholur á Nesjavöllum. Samtals voru athugaðar um 1100 útfellingaraðir, að-allega úr holum 6, 7, 8, 9, 12 og 17, en minna frá öðrum holum. Í þessari umfjöllun hefur verið farið í gegnum öll gögn þar sem slísk röðun hefur verið athuguð og eru þau tilgreind í töflu 2 í viðauka. Í töflunni eru elztu steindirnar vinstra megin en yngjast til hægri. Breytilegar skyggingar á einstakar steindir og steindasamfélög eru notaðar til að auðvelda lestur töflunnar. Unnt er að raða útfellingum í ákveðin tímaskeið og eru hugmyndir settar fram um tengingu þeirra við ákveðna jarðfræðilega atburði í sögu Hengilkerfisins. Þessar hugmyndir eru sýndar á mynd 9.

Háhitakerfi eru langlif og er talið að þau hafi heldur skemmti eða svipaðan lfsftíma og sú megineldstöð sem þau tengjast. Það þýdir að taka verður tillit til upphleðslu (fergingar) gosefna og innskota þegar litíð er á heildarsögu jarðhitans í megineldstöð. Á mynd 9 er gert ráð fyrir upphleðslu gosefna og að innan háhitakerfisins verða einstakir jarðhitaatburðir, sem stjórnast af því sem gerist í eldstöðinni, svo sem breytilegri vatnsgæfni berggrunnsins (sprungumyndun, þetting bergsins vegna feringar og holufyllinga), upphitun (kvíkuinnstreymis), eða kælingar (varmaleiðni eða innrás grunnvatnskerfa). Hér á eftir er fjallað um helztu tímabil í þróun jarðhitakerfisins á Nesjavöllum:

#### Útfellingakerfi I.

Talið er að aldur Hengilkerfisins sem megineldstöðvar geti verið um 300.000 ár en sú tilgáta byggir á breytingu í upphleðslu í berggrunnum (þ.e. úr hraunlagaupphleðslu yfir í ráðandi móbergsupphleðslu). Samkvæmt yfirborðs- kortlagningu var sprungusveimur sem kenndur er við Grensdal, austan Hengils, virkur með tilheyrandi háhitavirkni fyrir þann tíma (Knútur Árnason o.fl. 1986). Gera má því ráð fyrir að við upphaf Hengilssprungureinar hafi yfirborð legið 5-600 m neðan við núverandi yfirborð Nesjavalla. Á þeim tíma má einnig gera ráð fyrir að ríkt hafi svipað hitaástand í berggrunni og vænta má í gosbelti utan háitasvæða. Slísk ummyndun lýsir sér í 300-400 m þykkum stafla þar sem kalt grunnvatnskerfi ræður rískjum og engar útfellingar myndast, nema e.t.v. límonít. Ópall sezt síðan til í vatninu og þar neðan við kemur í zeólíabelti, svipað og lýst hefur verið af Walker á Austurlandi (Walker 1960). Vísbendingar um þetta kerfi eru óljósar, nema að vða má greina límonít, illa kristallað smektít, ópal og kalsedón við jaðra holrýma, en lfsklegast eru zeólstar þessa tímaskeiðs að mestu horfnir.

#### Útfellingakerfi II.

Elztu ummerki háhitumyndunar í berggrunni Nesjavalla tengjast ísúrum innskotum. Þótt flestar upplýsingar sem til eru um röðun útfellinga við ísúr innskot hafi verið skráðar í holu 7 er öruggt að svipaðar aðstæður finnast í öðrum holum. Meginsteindir sem sjást í holrýmum við

þau innskot er kalsfeldspat (ísklega adúlarfa) ásamt wollastoníti. Amfísból tengist þessari ummyndun líka, bæði sem útfelling í holrými og sem kápa utan á pýroxeni. Ummyndun pýroxensins gæti annað hvort verið samtíma kristöllun pýroxensins, þ.e. kristöllun kviku í vatnsmettuðum umhverfi, eða síðari jarðhitumyndun. Adúlarfa er nær alls staðar við jaðra holrýmis, og hefur grófkristallaður leir sjaldnast náð að kristallast undir honum, en það bendir til að aðstæður zeóltá-smekta-beltis hafi verið ríkjandi áður en ísúru innskotin leiddu háhitakerfið á þessar slóðir. Athyglisvert er að lekt er enn mikil við ísúru innskotin, þrátt fyrir að því er virðist háan aldur þeirra (um 80.000 ár?).

Þótt útfellingar samtíma ísúru innskotavirkninni séu þær fyrstu sem sjást greinilega í Nesjavallakerfinu, þarf það ekki að benda til að þar sé að finna upphaf háhitavirkni í Hengilseldstöðinni allri. Nesjavallakerfið er samkvæmt rannsóknum við norðurjaðar Hengilsjarðhitakerfisins. Upphaf háhitavirkni á Nesjavöllum getur því allt eins markað útþenslu eða færslu á eldra háhitakerfi með upptök nærrí miðju eldstöðvarinnar. Tengslin við ísúrt berg bendir þó til þess að háhitavirknin tengist virkni í megineldstöð.

### Útfellingakerfi III.

EKKI ER UNNT AÐ SETJA SKÖRP SKIL Á MILLI ÚTFELLINGA SEM TENGJAST JARÐHITAKERFI ÍSÚRU INNSKOTANNA OG ÞESSUM ÚTFELLINGUM. Epidót er mest áberandi í þessu steindasamfélagi, en klórít, wollastonít, granat, kvarts, amfísból og súlfíð koma hér einnig við sögu. Vafalítið má vinna meir út úr þeim gögnum sem tengjast þessu útfellingatímabili, en það verður að búa betri tíma.

### Útfellingakerfi IV.

Zeóltakerfið er mjög áberandi á Nesjavöllum, og nær niður á allt að 1200 m dýpi út við jaðra háhitakerfisins. Þetta útfellingatímabil er talið efsti hluti á háhitakerfanna tveggja sem áður eru talin, og hugsanlegt er að elstu zeóltarnir hafi myndast fyrir tíma háhitavirkni á Nesjavöllum (I.). Aldursröð zeóltanna virðist vera:

(Analísím >) tomsonít > (heulandít >/+) stilbít > skólesít/mesólfít > mordenít > laumontít.

Einkenni þessarar raðar er að þeir elztu þola minnstan hita en þeir yngstu eru stöðugir við hærri hita. Röðunin bendir því til stighækkandi hitnunar berggrunnsins EKKI eru sjánleg nein skil innan þessa tímabils sem bent gæti til samsvarandi skila í háhitaskeiðum í neðri hluta jarðhitakerfisins.

### Útfellingakerfi V.

Mjög áberandi breyting verður við upphaf þessa jarðhitaskeiðs, sérstaklega í zeóltahluta kerfisins, þar sem zeóltar taka að brotna niður og aðrar steindir myndast í þeirra stað. Pessi breyting sést í öllum holum á svæðinu, og er jafn greinileg í holu 18 sem í holu 8. Upphaf þessarar breytingar er leirkristöllun, sem annað hvort verður við jaðra holrýmis og undir zeóltunum, eða ofan á zeóltunum. Í fyrrnefnda tilvikinu má vða greina grófkristallaðan leir þrengja sér inn í kristalfleti zeóltanna. Í síðara tilfellinu er yfirleitt um að ræða fín- til meðalkorna leir sem sezt ofan á zeóltana ofarlega í kerfinu. Zeóltarnir eru vða horfnir, sérstaklega í nágrenni virkra vatnsæða. Þar sem þeir eru horfnir má enn sjá móta fyrir þeim í þeim steindum sem myndast hafa á þeirra kostnað (pseudomorph). Vða hafa þeir aðeins horfið að hluta til og því unnt að greina betur hvaða steindir eru að myndast á kostnað hverra. Í töflu 3 er sýnt samspil zeólta og afsprengi þeirra. Í nær helming tilvika hverfa zeóltarnir yfir í kvarts, en algengt er að sjá þá breytast yfir í wairakít, og á það einkum við um stilbít og laumontít. Kalsít myndast einnig á kostnað zeólta. Vða sést leir vaxa og þrengja sér inn í laumontít, en ekki greinist

hvort um er að ræða efnaskipti á milli þessara steinda eða að leirinn sé að taka yfir pláss laumontíts um leið og það leysist upp. Mögulegt er að á einum stað megi greina laumontít breytast yfir í prenít. Greinilega má fylgja eftir þessu steindasamfélagi, þ.e. leir (smektit, blandleir, klórít), kvars, wairakít og prenít yfir mestan hluta jarðhitakerfisins. Eins og áður er getið fellur leirinn út fyrst. Aðrar steindir hafa ekki einhvíta aldursröð. Kvars virðist þó fjórum sinnum oftar vera á undan wairakít en öfugt (53 skipti á móti 12 samkvæmt töflu 2 í viðauka), og ef lítið er á hvað kvars er ráðandi í ummyndun á zeólítunum má ef til vill álykta að það bendi til að kvarsummyndunin hafi tekið fyrr við sér en wairakítummyndunin. Prenít kemur jafn oft fyrir á undan og eftir kvarsi og wairakítí.

**Tafla 3.** Nesjavellir. Ummyndun zeólíta.

	Laumontít	Kvars	Wairakít	Prenít	Leir	Kalsít
Stilbít	2	6	4			
Fínþ. zeólít		11	1			
Mordenít	1	5				1
Mesólít		3				1
Skólesít		2	1			
Laumontít		9	7	1	9	
Óskilgr. zeólít		1	1			2
Anal sím						1
Samtals	3	37	14	1	9	5

#### Útfellingakerfi VI.

Síðasta útfellingaskeiðið í Nesjavallakerfinu einkennist af kalsíti (karbónat), sem sést alls staðar þar sem hiti kerfisins er neðan 290-300°C. Í fáum tilfella má greina kalsít inn í röðinni, en talið er lsklegt að þar hafi það þrengt sér inn á milli steinda. Vísbendingar eru um að þeir staðir í jarðhitakerfinu þar sem kalsít treðst þannig inn á milli steindaraða, sé þar sem kalsítvirknin er mest (þ.e. kalsít útfellingar og bergummyndun). Í efri hluta kerfisins, sem sérstaklega var skoðað í holu 7, virðist koma fram viss þróun í kalsít. Ofan við jarðhitakerfið verður vísða vart við sveipmyndað karbónat sem talið er aragonít. Neðar tekur við leirborið kalsít. Síðar í tíma og enn neðar í kerfinu kemur vel kristallað (euheedral) kalsít. Þar er einnig unnt að greina á stöku stað trefjótt kalsít, sérstaklega þar sem fyrirfinnst óvenju mikil bergummyndun. Súlfíð (pýrít) tengist greinilega við kalsítútfellingarnar. Nánar er fjallað um mögulega þýðingu kalsíta í útfellingum í Nesjavallakerfinu í kafla 6.

Neðan til á mynd 9 eru settar fram hugmyndir að tengingu jarðfræðiatburða við þróun í jarðhitakerfinu. Þar er fyrst tímasett upphaf Hengilssveimsins. Upphaf háhitavirkninnar í Nesjavallakerfinu er tengt ísúrum og súrum móbergsmýndunum sem finnast í Sleggju og tímasettar hafa verið á síðasta jökulskeið eða um 80.000 ára (Knútur Árnason o.fl. 1986). Þessi tenging er nokkuð óræð þar sem ekki eru til neinar efnagreiningar af innskotunum til samanburðar við gosefni á yfirborði. Upplýsingar úr holu KhG-1 við Kolviðarhól mæla á móti tengingu þarna á milli, þar sem engrá ísúrra innskota verður vart, þrátt fyrir að sú hola sé mun nær Sleggju en Nesjavallaholurnar. Vel má þó vera að ísúru innskotin séu ekki svo langt undan, a.m.k. er flúor innihald jarðhitavökvars í Kolviðarhólsholunni mun hærra en í mörgum Nesjavallaholanna (Benedikt Steingrímsson o.fl. 1993). Talið er að Hengilsstapinn sunnan Nesjavalla hafi hlaðist upp fyrir um 60.000 árum. Meginhlutí upphleðslu stapans hefur orðið í miðju hans, en hluti á

gossprungu sunnarlega í Kýrdalshrygg. Mögulega má tengja þennan atburð við megin-háhitummyndunina í Nesjavöllum. Tvö sprungugos hafa orðið í Kýrdalshrygg eftir að s söld lauk, það fyrra fyrir um 7000 árum, og það síðara fyrir um 2000 árum. Fersklegu innskotin sem finnast viða í jarðhitageyminum og eru vel vatsleidandi, gætu hafa myndast í þessum goshrinum. Staðfesta þyrfti slska tengingu með samanburði á efnagreiningu á innskotunum og yfirborðsbergi þessara gosa. Gosgangar svo sem eins og þeir sem liggja neðan Kýrdalshryggs geta bædi virkað sem góðir veitar á grunnvatn en einnig sem hindrun á rennsli. Talið er mögulegt að berggangur síðara gossins hafi orðið til þess að streymi jarðhitavökva inn í Kýrdal hafi minnkað, og kæling þar sé mun meira áberandi af þeim sökum. Árið 1789 urðu tektónískar hreyfingar sem greinileg merki eru um á Hengilssprungusveimnum. Vel má vera að þessi atburður hafi haft einhver áhrif á ástand jarðhitakerfisins.

Athyglisvert er hvað gott samræmi er í aldursröðun útfellinga yfir allt svæðið og sérstaklega hve breytingarnar eru alls staðar samstíga. Það er sérstaklega áberandi þegar útfellingakerfi V tekur völdin. Ein ástæðan fyrir því gæti verið sú að lektin í jarðhitakerfinu sé svo góð að allar hitabreytingar breiðist hratt út um kerfið. Góð lekt eftir gosrásum neðan Kýrdalshryggjar myndi flytja vökvann fljótt og vel milli einstakra undirsvæða.

## 4.2 Frávik í röðun útfellinga

Röðun útfellinga í holrými er stundum ekki einhlít í jarðhitakerfinu á Nesjavöllum eins og nokkur eftirfarandi dæmi sýna:

Greinileg merki eru um að zeóltar eru að breytast í kvars, wairakít og kalsít, eins og vikið er að síðar. Innbyrðis röð þeirra getur því raskast þar sem myndun þeirra fer að nokkru eftir tegund zeóltanna en ekki tíma. Sá háhitafasi sem kemur þessari umbreytingu af stað veldur í fyrstu útfellingu á leir. Leir þessi virðist þó ýmist kristallast ofan á zeóltunum eða undir þeim. Þessi afstæði ruglingur hefur viða verið leiðréttur í töflunni, en ekki víst að svo hafi verið gert alls staðar.

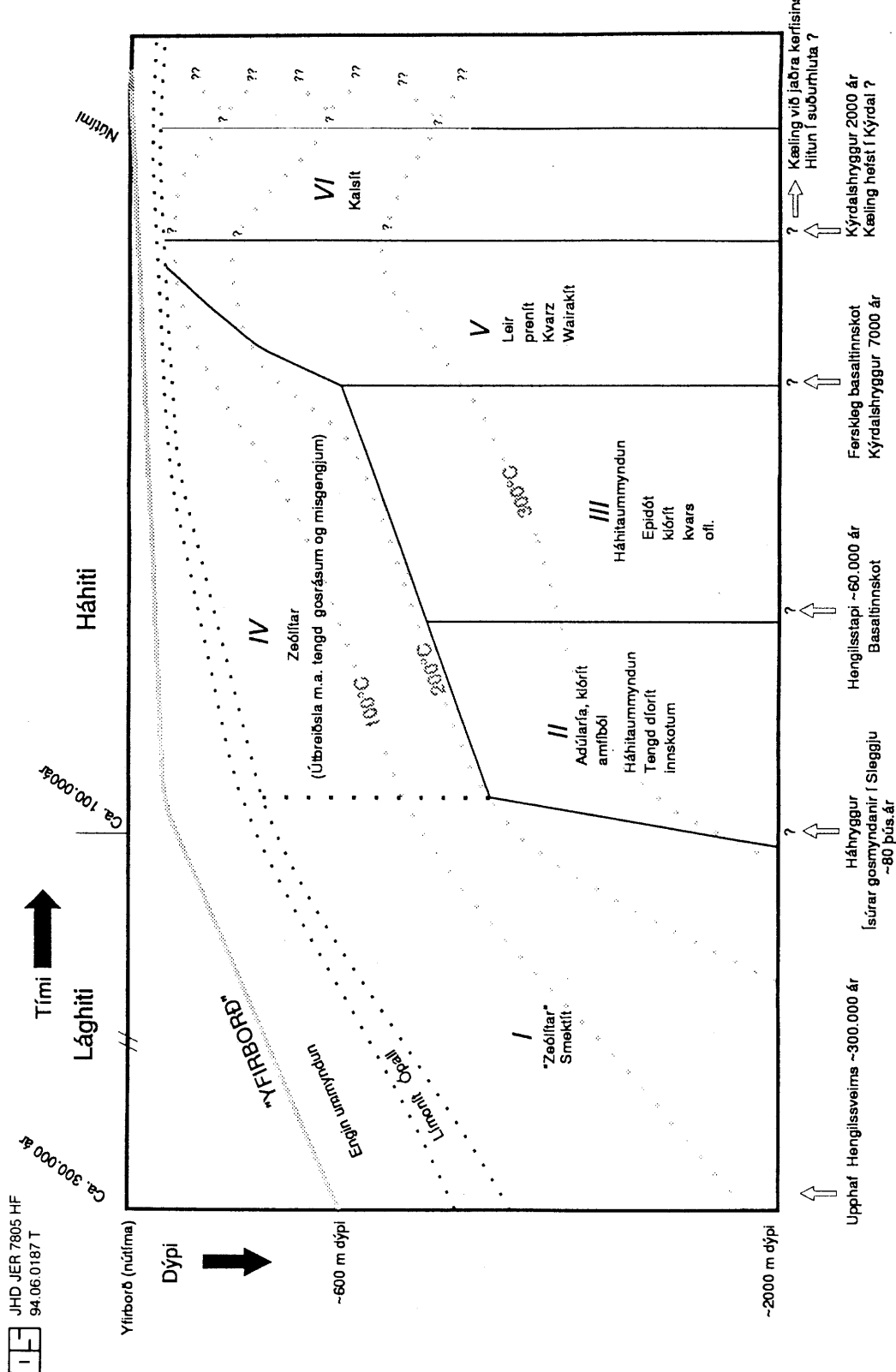
Kvars er ekki ætsð sundurgreint nægilega og þyrfti að hyggja betur að því í framtíðinni. Viða er ekki getið hvort það kvars sé vegna breytingar á ópal eða kalsedon yfir í kvarts, hvort um sé að ræða ummyndun zeólsta eða beina kristöllun þess úr jarðhitavökva.

Kalsít virðist eiga auðvelt með að smjúga inn á milli steindalaga og á þann hátt villa um fyrir sínu rétta "röðunarsæti". Slík ítroðsla kalsíts virðist áberandi í tengslum við mikla kalsstummyndun bergs. Ekki er unnt þó að útiloka að kalsít hafi einnig fallið út á eldri jarðhitaskeiðum.

Wollastonit er í sumum tilvika erfitt að setja í röðunarsæti, þar sem það er svo fínfjaðra að erfitt er að greina upphafsflót kristöllunarinnar.

Granat og amfiból er einnig erfitt að setja í tímarröðun þar sem allt eins líklegt er að þær steindir, að einhverju leyti a.m.k., geti verið ummyndun á t.d. leir.

Leirútfellingar eru breytilegar eins og vikið er að annars staðar í skýrslunni. Fyrst virðist illa kristallaður ("amorf") leir setjast á holuveggi, en í sumum tilvika getur vel verið leirkristöllun á glerinu í holuveggjunum. Næst kemur fínfjaðra til smáfjaðra leir, og þar á eftir gróffjaðraður leir. Þegar kemur í nægilegan hita breytist hann í blandlög og/eða klórst, en sjá má af áðurnefndri kristöllun, hvort upphaflega hafi verið að ræða smektít eða aðra leirtegund. Þessum breytileika í kristöllun var ekki alltaf fylgt eftir þegar röðun steinda var athuguð.



### **Mynd 9.** Þróun jarðhitakerfisins á Nesjavöllum.

## 5. SAMANBURÐUR UMMYNDUNAR OG BERGHITA

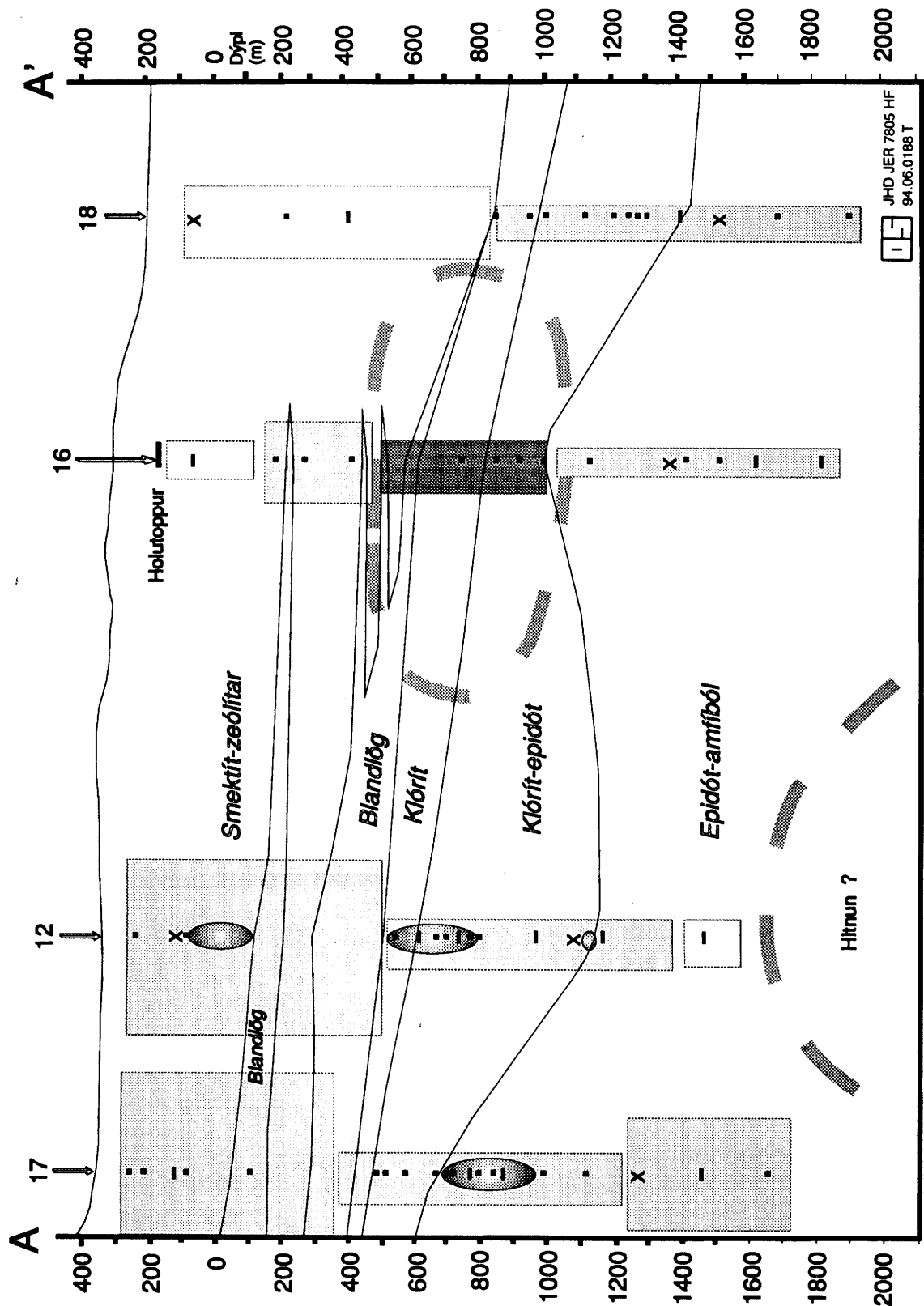
Nokkur munur er á áætluðum berghita og ummyndunarhita í Nesjavallakerfinu. Hvoru tveggja eru nálganir, sem ráðast af óvissu í áætluðum berghita (nálgunum á upphitunarferrum borhola) og rennslissamspili vatnsæða sem holan sker, suðu, og hvort hitajafnvægi náðist í holunum áður en blástur hófst. Hvað ummyndun varðar stjórnast óvissan að hluta til af árvekni svarfgreinanda fyrir tilveru ummyndunarsteindanna og þess sýnafjölda sem tekinn er til nákvæmari greininga.

Í samantektarskýrlsu um borholujarðfræði Nesjavalla (Hjalti Franzson 1988) var fjallað eilstið um mun á ummyndunarhita og berghita og sýnt fram á að lísklegast væri hluti kerfisins að hitna meðan aðrir hlutar væru í jafnvægi eða að kólna. Hér er gengið enn lengra og hver hola greind m.t.t. þessara þátta. Á myndum 5 og 10-12 er þessi samanburður sýndur í holum 6-18 og sýnt hvar samræmi er á milli mælds hita og ummyndunar, hvar berghiti er hærri og hvar berghiti er lægri en ummyndunarhiti. Einnig gefur breidd kassanna á myndinni vísbendingar um hvort um áberandi kælingu/hitnun er að ræða eða óverulega. Þessi samanburður dregur fram ákveðna mynd af þeim hluta kerfisins þar sem hiti er hærri en ummyndun segir til um. Eins og vænta mátti er hún mest áberandi syðst á svæðinu og svo fram með Kýrdalshrygg austanverðum. Hitatunga sést einnig greinilega leita út frá suðurhluta svæðisins og til austurs frá Kýrdalshryggnum. Í holu 15 liggur sú tunga á 500-1000 m dýpi, í 13 neðan 500 m dýpis, í 14 milli 400 og 800 m dýpis og í 9 ofan 800 m, ofan 900 m í holu 6, og milli 700-1200 m í holu 16. Athyglisvert er að í sumum holanna (eins og holu 10, 9 og 15) varð ekki vart við vatnsæðar á slóðum hitatungunnar. Á sama hátt virðast æðar ekki vera áberandi í Kýrdal þar sem kælingin er mest ofarlega í kerfinu.

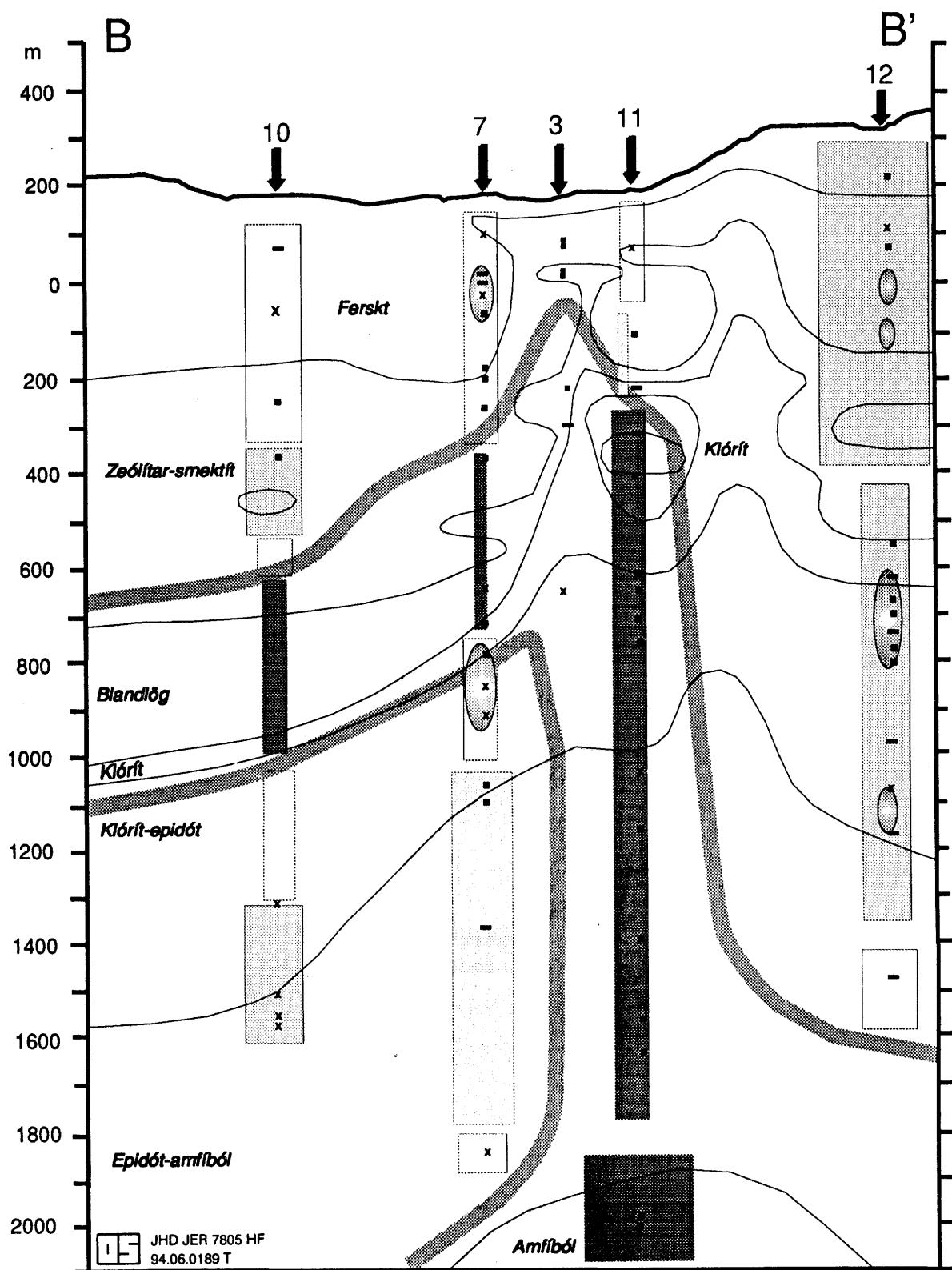
Samanburður hita og ummyndunar gefur einning til kynna kælingu í jarðhitakerfinu. Við austurjaðar kerfisins verður vart kælingar í neðri hluta hola 14, 15, 10 og 7. Í holu 10 verður einnig vart kælingar á 500-700 m dýpi, ofan áðurnefndrar hitatungu. Í holu 16, í norðurhluta svæðisins, verður vart kælingar ofan hitatungunnar, á 300- 600 m dýpi, sem og neðan hennar (> 1200 m). Neðan 1000 m holu 18 verður merkjanleg kæling alveg niður á botn holunnar. Í Kýrdal er kæling ráðandi þar sem holu 17 og 18 hafa kólnað miðað við ummyndun nema e.t.v. við botnæðina í holu 12. Kælingin er mest áberandi ofan 700-800 m dýpis, heldur minni þaðan og niður á um 1600 m dýpi. Þar fyrir neðan virðist komast á hitajafnvægi við ummyndun í holu 12, en í holu 17 er áberandi kæling.

Meirihluti vatnsæða sem holurnar skera neðan 1400 m dýpis tengjast ísúrum inniskotum. Þær æðar eru yfirleitt vel vatnsgengar, en líkur eru á að þar sem þær teljast vera með elstu vatnsæðum í jarðhitakerfinu, hafi yngri inniskot og e.t.v. misgengi nær Hengli aftengt þær vatnsæðar að einhverju leyti frá megin jarðhitastreyminu í suðri. Ísúru inniskotin eru víðfeðm, og eru jafn algeng í suðurhluta borsvæðisins sem í norðurhluta þess. Jafnvel er lísklegt að þau nái út fyrir hefðbundin mörk kerfisins. Þau gætu því verið í tengslum við kaldari kerfi og geta á þann hátt veitt kaldari vökvinn í jarðhitakerfi. Þrír samverkandi þættir gætu skýrt þá miklu kælingu sem vart verður við í Kýrdal. Í fyrsta lagi er lísklegt að berggangar í Kýrdalshrygg, sem eru yngri en útfellingatímabil V (sjá kafla 4) hefti að einhverju leyti rennsli inn í Kýrdal. Í öðru lagi hafa vatnsæðar við ísúru inniskotin sams konar áhrif og lýst var austan Kýrdalshryggjar. Fróðlegt er að botnæð holu 12 virðist tengd basaltinnskoti en ekki ísúru inniskoti. Í þriðja lagi getur

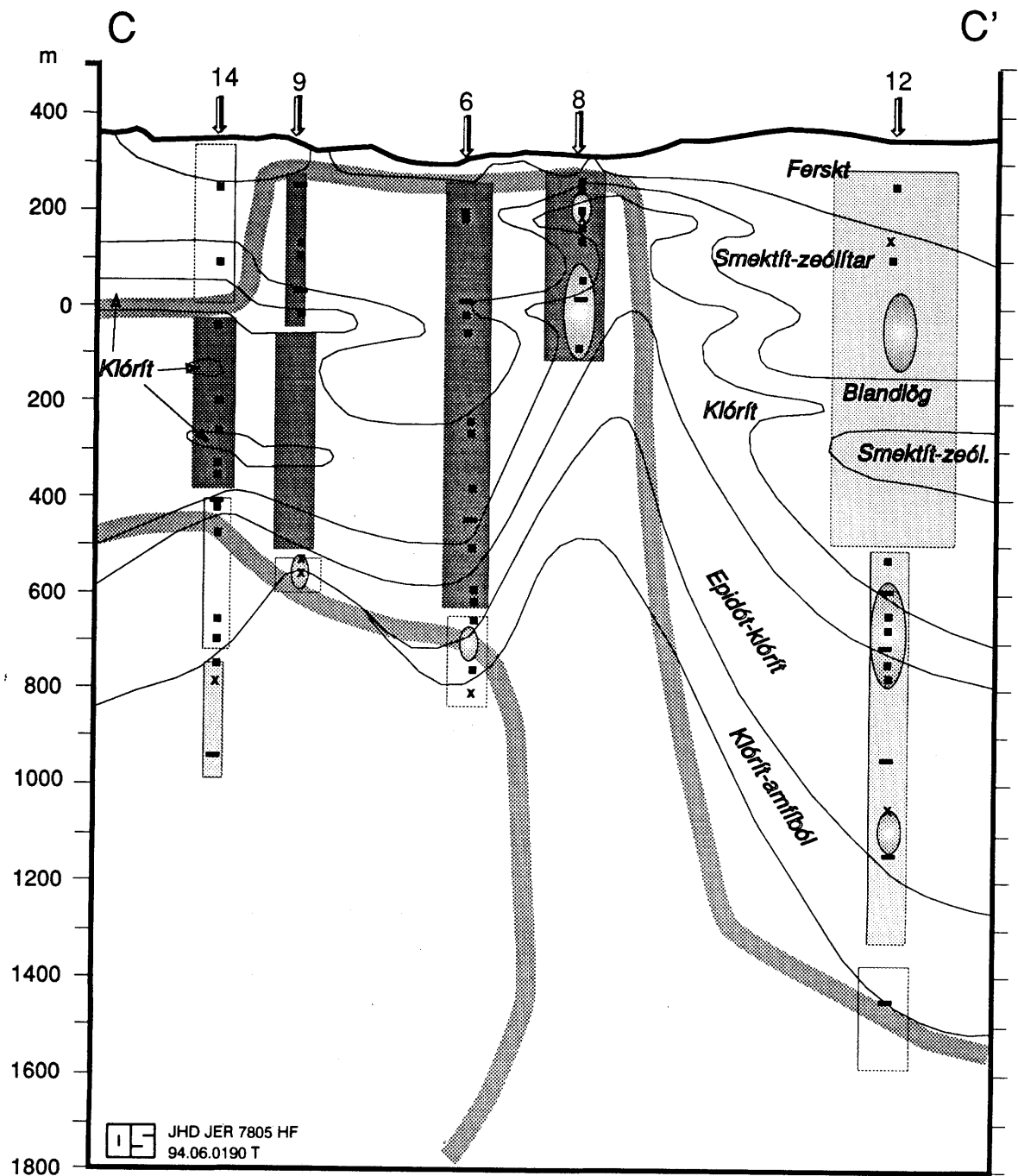
áberandi kæling í efstu 800 m berglagastaflans í holum 17 og 12 orsakast af aukinni lekt eftir mjög virku sprungubelti vestan og norðan Kýrdals (efstu hundruð metra í holu 18 hafi alltaf verið í köldu grunnvatnskerfi).



Mynd 10. Sniðlína A-A'. Samanburður ummyndunar- og berghita, og kalsfummyndun bergs.



**Mynd 11.** Sniðlína B-B'. Samanburður ummyndunar og berghita, og kalsítummyndun bergs.



**Mynd 12.** Sniðlína C-C'. Samanburður ummyndunar- og berghita, og kalsítummyndun bergs.

## 6. UMRÆÐA

Gögnin sem borin eru á borð í þessari skýrslu bera það með sér að þegar þeim var safnað meðan á bortfma stóð, var um nokkra tilraunastarfsemi að ræða og ekki fullljóst hver niðurstöðan yrði. Til dæmis hafði ekki áður verið kannað nema að litlu leyti hvernig ummyndun bergsins þróaðist með hita og dýpi í jarðhitakerfinu, eða hvernig leirkristöllun breytist með dýpi.

Á mynd 13 er sýnt yfirlit yfir efri mörk á breytingum sem verða í bergummyndun og leirkristöllun miðað við staðsetningu innan ummyndunarbelta eins og nánar var fjallað um hér að framan. Myndin sýnir augljóslega að unnt er að styðjast við þessa ummyndun í framtíðinni við gerð ummyndunarbelta, þar sem leirskán og fínfjaðra leir í blöðrum markar smektft-zeólista belti, hápleókrófski leirinn, leirummyndun plagióklasa og hvarf fersks glers benda til að komið sé niður í blandlagabeltið, og að daufgrænn leir, albít og sphén marki upphaf klórftbeltisins. Nokkur óvissa er í staðsetningu þessara marka sérstaklega með tilliti til hvar daufgræni leirinn (Dgl) byrjar, og hvar efri mörk leir- (Pll) og albítmummyndunar (Ab) plagióklasa verða. Einnig eru dýptarmörk á sphén-ummyndun (Sph) nokkuð óljós. Möguleg ástæða þessarar óvissu er dýptarmisræmi milli röntgensýna og þunnsneiðasýna, sem getur skipt sköpum þegar verið er að rekja tiltölulega afmörkuð ummyndunarbelti, og hins vegar kann að vera að ekki hafi verið fylgst nægilega með þessum ummyndunarþáttum við þunnsneiðaskoðun. Þessi óvissa er í sumum tilvika fremur léttvæg sé hún skoðuð með tilliti til hvað blandlagabeltið og klórftbeltið eru viða fremur þunn. Er því von til að með nánari skoðun megi minnka óvissu greininga af þessu tagi.

Samantekt gagna sem varða þróun jarðhitakerfisins á Nesjavöllum í tíma staðfestir að miklum hluta þá mynd sem sett var fram í yfirlitsskýrslu höfundar (Hjalti Franzson 1988). Helstu viðbæturnar eru betri tenging zeólstabeltanna við önnur jarðhitaskeið og svo yfirlit yfir heildarþróun jarðhitakerfisins þar sem tillit er tekið til lískegrar upphleðslu í Hengilskerfinu. Staðsetning Nesjavallaholanna er mjög sérstök þar sem þær eru við útkant stærra jarðhitakerfis Hengils. Svo virðist sem í sögu svæðisins hafi komið tiltölulega skammvinn jarðhitaskeið (á jarðfræðilegan mælikvarða) sem náð hafa að setja mark á eldri ummyndun. Ekki er að fullu ljóst hvort Nesjavallakerfið er að kólna, hitna upp eða hvoru tveggja. Samanburður á ummyndunarhita og berghita gefur til kynna að í suðurhlutanum og austan í Kýrdalshryggnum virðist berghiti vera öllu hærri en ummyndun segir til um, en annars staðar á svæðinu er jafnvægi eða að ummyndun segir til um meiri hita en berghiti mælist. Samkvæmt því eru stórir hlutar Nesjavallakerfisins að hitna en aðrir hlutar að kólna. Rétt er þó að hafa í huga að hiti ummyndunarinnar er grundvall-aður á steindum sem ekki virðast lengur vera að myndast (m.a. blandlög, klórft, epidót, amfiból, wairakft, zeólista).

Kalsít aftur á móti er sú steind sem síðast sést falla út úr jarðhitakerfinu. Síðustu skref þróunar jarðhitakerfisins ættu því að greinast best í þeirri steind. Felling kalsíts getur orðið a.m.k. með þrennum hætti, þ.e. við suðu, upphitun og með auknu CO<sub>2</sub> magni. Hér á eftir verður hugað að því hvernig þessar þrjár leiðir útfellingar passa við jarðhitakerfið á Nesjavöllum:

Útfelling kalsíts við suðu er þekkt fyrirbrigði. Mögulega getur kalsít hafa myndast í Nesjavallakerfinu vegna suðu í jarðhitakerfinu. Samkvæmt núverandi ástandi í kerfinu er líslegt að suða sé í suðurhluta svæðisins og að einhverju leyti fram með austanverðum Kýrdalshrygg. Kalsít, þar á meðal plötukalsít, virðist þó ekki vera neitt algengara á því svæði en annars staðar og tengsl þess við suðu ekki ljós.

Upphitun jarðhitavökva getur valdið yfirmettun hans með tilliti til kalsíts. Þetta getur gerst þegar kaldari vöki streymir inn í jarðhitakerfi og hitnar við snertingu við heitara berg jarðhitakerfisins.

Vökvabólur hafa lítillega verið athugaðar í holum 17 og 18. Yfirleitt er vökvabóluhiti hærri í kvarsi en í kalsíti. Af því hefur leitt að kalsít hefur verið tekið sem merki um kælingu í jarðhitakerfi Nesjavalla. Í holu 18 voru mældar vökvabólur í plötulaga kalsít kristöllum á 1100-1700 m dýpi, sem talið er að myndist í sjóðandi jarðhitakerfi. Hitinn sem þar mældist liggur frá suðuborði og niður að áætluðum berghita. Í sumum tilfella reyndust sekúnderar bólur hafa heldur lægri hita en þar sem prímerar voru. Einkenni þessa plötukalsíts, sem og hefur fundist vísðar en á Nesjavöllum, er að húð af smákristölluðu kvarsi sem hefur fallið síðar út á yfirborði þess. Í holu 18 er plötukalsítin vísbinding um að ádur hafi mun hærri hiti ríkt í jarðhitakerfinu. Spurningin sem svara þarf er hvort plötukalsítin í holu 18 sé af sama meiði og annað kalsít sem finnst í jarðhitakerfinu. Vökvabólur í kalsíti á rúmlega 600 m dýpi í holu 17 sýndu mun hærri hita en áætlaðan berghita ( $30-130^{\circ}\text{C}$ ). Á um 1350 m dýpi mælast kalsít vökvabólurnar mun nær mældum hita (yfirleitt  $+/- 20^{\circ}\text{C}$ ). Engar vökvabólurannsóknir hafa verið gerðar á kalsítinu sem finnst í neðsta hluta holu 17. Vökvabólur mældar í þessum tveimur holum, sem báðar eru vestan megin við Kýrdalshrygg, sýna því greinilega að núverandi berghiti er lægri en vökvabóluhiti í kalsíti.

Heldur erfðara er að gera sér grein fyrir hvort innstreymið sem nú hitar upp hluta jarðhitakerfisins felli út kalsít, því sá vöki hlýtur að kólna við að hita upp bergið og þar með að fjarlægjast yfirmettun. Á hinn böginn getur það leitt til þess að poruvökvinn í bergeninu hitni upp og nái að yfirmettast með tilliti til kalsíts og e.t.v. að fella það út.

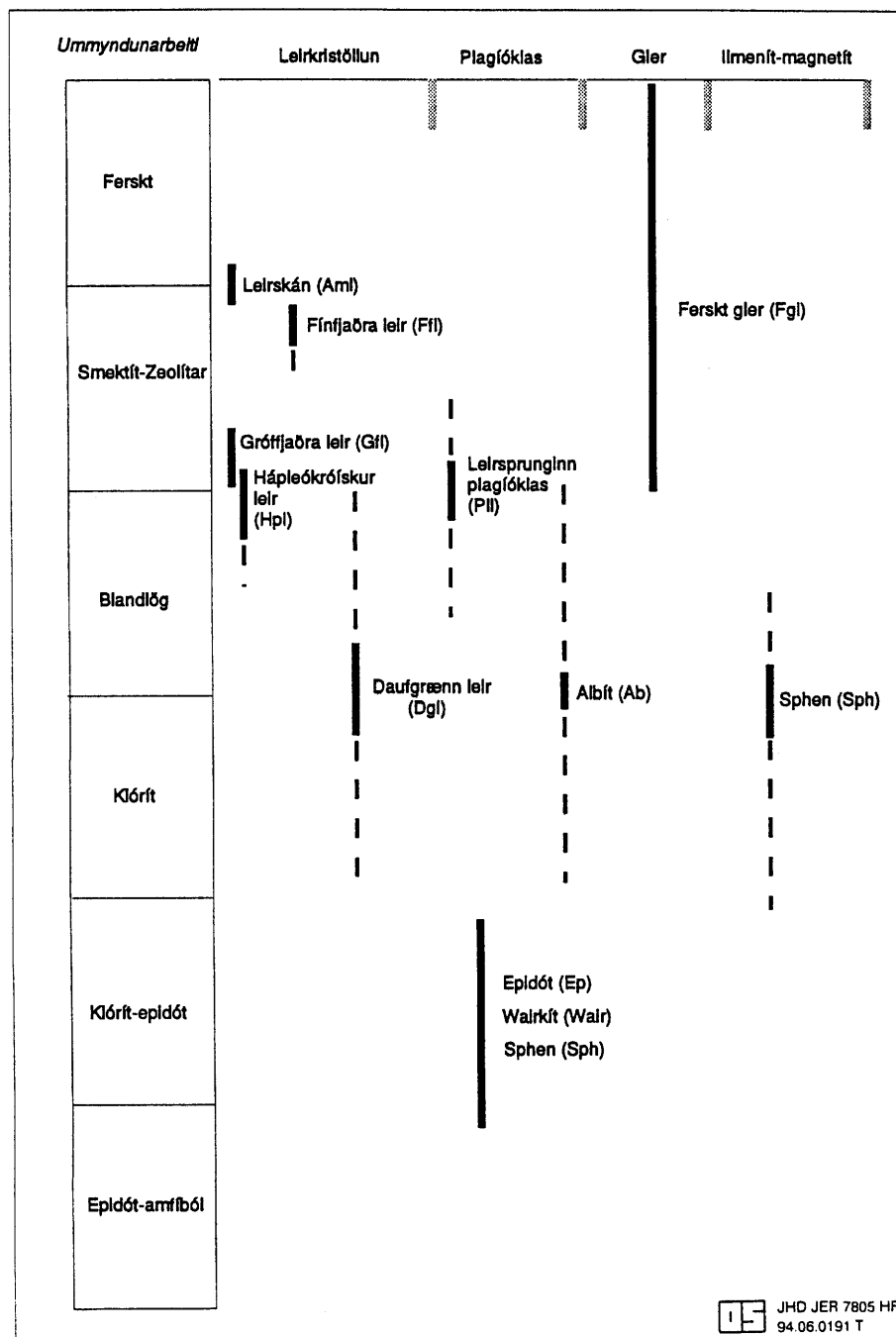
Kalsítútfellingar í holu 7 voru skoðaðar og virtist þróunin þar vera frá leirkenndu illa kristölluðu kalsíti yfir í sveipmyndað karbónat sem lísklega er aragonít og síðan yfir í vel kristallað kalsít. Aragonít virðist, samkvæmt athugunum á Nesjavöllum og jarðhitakerfum á Reykjanesi, myndast utan við jaðar eiginlegs háhitakerfis og túlkast því sem útfelling við lágan hita. Það er því viss tilhneiting til að túlka þessa röðun sem merki um upphitun í jarðhitakerfinu.

Í holu 9 voru vökvabólur m.a. í kalsíti mældar á 700-900 m dýpi. Kalsít bendir alla jafnan til lægri hita en vökvabólur í kvarsi, en voru einnig með lægri hita en mældan hita. Í sumum kalsítkristöllum sáust greinileg merki um zeólístanálar, þar sem kalsítin hafði vaxið utanum þær. Nálarnar hafa eftir kristöllun kalsítsins að hluta til horfið og í stað þeirra komið vökvabólur. Þetta bendir til að upphitun hafi orðið í kerfinu eftir að kalsítin myndaðist, og því vísbinding um að kalsítin hafi myndast fyrir upphitun jarðhitakerfisins.

Aukning  $\text{CO}_2$  í jarðhitavökva getur leitt til yfirmettunar kalsíts og útfellingar þess. Þessu til stuðnings má benda á áberandi kalsíttummyndun við virkar vatnsæðar vísðar í jarðhitakerfinu, og eru sumir þeirra staða merktir inn á myndir 5 og 10-12, en aukið  $\text{CO}_2$  leiðir lísklegast til aukinnar bergummyndunar. Súlfíð-útfellingar (aðallega pýrít) tengjast áberandi kalsít útfellingunum, en súlfíð tengist magni  $\text{H}_2\text{S}$  í jarðhitavökvanum. Á Filippseyjum verður vart áberandi aukningar kalsíts er fjar dregur uppstreymisrásum jarðhitakefisins, og er það skýrt með auknu  $\text{CO}_2$  í jarðhitavökvanum, sem tilkomið er vegna suðu neðar í kerfinu (Agnes Reyes 1990).

Af ofansögdu má sjá að ekki er auðhlaupið að útiloka fyrir Nesjavelli neina af þeim aðferðum sem kalsítin fellur út við. Jafnvel er sá möguleiki vel fyrir hendi að sú yfirhitun sem vart verður við í suðurhluta svæðisins og austan í Kýrdalshrygg geti verið til komin eftir að kalsítin felli út. Augljóslega er mjög þýðingarmikið fyrir virkjun jarðhitakerfisins að vita hvort núverandi nátt-

úrulegt ástand jarðhitakerfisins sé kæling, upphitun, eða hvoru tveggja. Sú rannsóknaraðferð sem bezt getur nálgast lausn þess er athugun á vökvabólum í útfellingum. Í fyrsta lagi þyrfti að kanna hita á leir-kvars-wairakft-prenít skeiðinu til að fá viðmiðunarhita þess jarðhitakerfis, en síðan að greina nákvæmar en gert hefur verið vökvabóluhita í kalsíti. Sérstaklega þyrfti að greina bólurnar í "þrímerar" og "sekúnderar" til að sjá hvort hiti lækkar eða hækkar eftir að kalsítid myndast. Á þann hátt ætti að vera unnt að nálgast það ástand sem nú rískir í jarðhitakerfinu, og staðfesta hvort og hvar jarðhitakerfið er að hitna eða kólna.



**Mynd 13.** Tengsl bergummyndunar og kristöllunar leirs við ummyndunarbeiti.

## 7. HELZTU NIÐURSTÖÐUR

Helztu niðurstöður þessar rannsóknar eru eftirfarandi:

1. Unnt er að tengja eftirfarandi ummyndun gosbergs við ummyndunarbelti:
  - a. Ummyndun glers hefst við efri mörk smektít-zeóltabeltis, og hefur það algerlega ummyndast við efri mörk blandlagabeltisins.
  - b. Í háhitakerfinu hefst leirsprungumyndun í plagsóklasa nærrí efri mörkum í blandlagabeltinu, en albítmumyndun hefst við efri mörk klórftbeltisins.
  - c. Ummyndun málmsteinda (ilmensts og magnetíts) hefst nærrí efri mörkum klórftbeltisins.
2. Ummyndun innskotsbergs í neðri hluta jarðhitakerfis er mun minni en upphleðslubergs á samsvarandi dýpi. Ummyndun innskotsbergs er mjög takmörkuð á því svæði sem mestur hiti hefur mælst á Nesjavöllum.
3. Kristalgerð leirs í holrými tengist hita og vatnsgengd. Leirskán myndast við jaðra holrýmis á efri mörkum smektít-zeóltabeltisins og fínþjáðra leir tengist vatnsgengum rásum. Neðan til í sama belti kristallast gróffjaðra leir. Við efri mörk blandlagabeltis verður leirinn, séður í þunnsneið, mjög pleókróískur, og við efri mörk klórftbeltisins fer að bera á daufgrænum litið pleókróískum leir.
4. Athugun á aldursröðun útfellinga í holrými bergsins gerir það kleift að rekja helztu þætti í þróun jarðhitakerfisins. Unnt er að greina merki allt að fjögurra háhitatímabila. Það elzta tengist ísúrum innskotum, og ef um er að ræða sama gostímabil og tengist ísúra berгинu í Sleggju er lísklegur aldur þess um 80.000 ár. Næsta háhitatímabil tengist mögulega upphleðslu Hengilstapans og þeim innskotum sem fleyga jarðlagastaflann á þeim tíma. Priðja háhitatímabilið, sem einkennist af ummyndun zéólita í efri hluta jarðhitakerfisins, og myndunar leir-kvars-wairakft- prent útfellinga. Hugsanlega tengist þetta háhitatímabil hraungosum í Kýrdalshrygg á nútíma. Ummyndun þessa tímabils nær einna hæst í berggrunninum, og tengist sú ummyndun ásamt ummyndun fyrri háhitafasa við ummyndunarhitafelinn. Samanburður á hitaferlum áðurnefndrar ummyndunar og berghitaferlum bendir til að hluti jarðhitakerfisins hafi hitnað (aðallega suðurhluti kerfisins og austan í Kýrdalshryggnum), meðan aðrir hlutar jarðhitakerfisins sýna jafnvægi eða kólnun miðað við ummyndunarhitafelinn. Kælingin er mest áberandi í Kýrdal en einnig vottar fyrir henni neðst í jarðhitakerfinu við austurjaðar þess. Talið er lísklegt að kælingin tengist vatnsleiðurum ísúru innskotanna. Kalsít er síðasta (yngsta) sjáanlega útfellingin í jarðhitakerfi Nesjavalla. Ekki er að fullu ljóst hvernig sú útfelling tengist misräminu milli ummyndunarhitans og berghitans. Hugsanlegt er á að sú upphitun, sem ríkjandi er í suðurhluta svæðisins, geti verið yngri en kalsítútfellingarnar.

## 8. FREKARI RANNSÓKNIR

Samspil lektar og jarðfræði jarðhitageymisins á Nesjavöllum gefur mjög ákveðnar vísbendingar um hvernig jarðhitakerfið hefur þróast í tímans rás. Hugmyndir að tímasetningum jarðhitaatburða hafa verið settar fram en þarfnað stæðfestingar. Í yfirlitsskýrslu (Hjalti Franzson 1988) var bent á að vatnsæðar tengdust ákveðnum tegundum vatnsleidara, svo sem fersklegum basaltinnskotum og fsúrum inniskotum. Því er bent á að sennilega er óbeint unnt að aldursgreina vatnslekt eftir ákveðnum inniskotum með því að efnagreina viðkomandi inniskot og freista þess að finna efnafraðilega samsvarandi gosberg á yfirborði.

Mæling vökvabóluhita í útfellingum getur mögulega svarað því hvort jarðhitakerfið á Nesjavöllum er að hitna eða kólna (eða hvoru tveggja). Eins og rakið er hér að framan virðist unnt að rekja síðustu breytingar sem orðið hafa í jarðhitakerfinu með rannsókn á vökvabólum, einkanlega kalsíti sem er síðasta sjáanlega útfellingatímabil í jarðhitakerfi Nesjavalla.

Bergummyndun hefur e.t.v. ekki verið gefinn nægilega mikill gaumur í rannsóknum virkra háhitakerfa. Vísbendingar, sem fengist hafa í verkefninu "Forðafræðistuðlar", benda til að poruhluti og vatnslekt aukist við aukna bergummyndun. Kortlagning bergummyndunar gæti því aukið við slíkar upplýsingar í jarðhitakerfinu. Eins og getið var um hér að framan verða inniskot stór hluti bergmassans í neðri hluta jarðhitakerfisins. Vegna þéttleika þeirra og yngri aldurs borð saman við upphleðsluberg á sama dýpi, er ummyndun þeirra alla jafnan minni. Poruhluti og lekt lækkar því væntanlega er neðar kemur í jarðhitageyminn. Rannsókn á bergummyndun myndi ef til vill geta varpað betra ljósi á þær bergfræðilegu breytingar sem verða á jarðskorpanni þegar nálgast lagskil Lags 2 og Lags 3.

Segja má að athuganir á ummyndun með vífssjá, þunnsneiðaskoðun og röntgengreiningum hafi sýnt fram á ýmsar athyglisverðar breytingar í ummyndun, sem kalla á frekari rannsóknir með nákvæmari og öflugri greiningaaðferðum (svo sem rafeindasmásjá og örgreini). Dæmi um verðug rannsóknaverkefni er könnun á breytilegu efnainnihaldi leirsteinda eftir kristalgerð þeirra í holrými, og hvernig efnaskipti verða við aukinn hita. Annað dæmi um fróðlegt rannsóknaverkefni er að rekja efnaskipti sem verða þegar zeólitstar breytast yfir í wairakft, kvars og fleiri steindir.

## 9. HEIMILDALISTI

Agnes Reyes, 1990: Petrology of Philippine geothermal systems and the application of alteration mineralogy to their assessment. *Journal of Volcanology and Geothermal Research*, vol.43: 279-309.

Ásgrímur Guðmundsson, Benedikt Steingrímsson, Dagbjartur Sigursteinsson, Guðjón Guðmundsson, Guðmundur Ómar Friðleifsson og Ómar Sigurðsson, 1985: Nesjavellir, hola NJ-11, 3. áfangi. Borun vinnsluhluta frá 566 m til 2265 m. Orkustofnun, 85048/JHD-14 B, 19 s. Unnið fyrir Hitaveitu Reykjavíkur.

Ásgrímur Guðmundsson og Hilmar Sigvaldason, 1986: Nesjavellir, hola NG-10; jarðög, ummyndun, mælingar og vatnsæðar. Orkustofnun, OS-86020/JHD-04, 50s. Unnið fyrir Hitaveitu Reykjavíkur.

Benedikt Steingrímsson, Ásgrímur Guðmundsson, Hilmar Sigvaldason, Ómar Sigurðsson og Einar Gunnlaugsson, 1986a: Nesjavellir, hola NJ-11. Borun, rannsóknir og vinnslueiginleikar. Orkustofnun, OS-86025/JHD-05, 164 s. Unnið fyrir Hitaveitu Reykjavíkur.

Benedikt Steingrímsson, Guðrún Sverrisdóttir, Hilmar Sigvaldason, Hjalti Franzson, Ómar Sigurðsson og Einar Gunnlaugsson, 1986b: Nesjavellir, hola NJ-12. Borun, rannsóknir og vinnslueiginleikar. Orkustofnun, OS-86026/JHD-06, 147 s. Unnið fyrir Hitaveitu Reykjavíkur.

Benedikt Steingrímsson, Ásgrímur Guðmundsson, Guðrún Sverrisdóttir, Hilmar Sigvaldason, Ómar Sigurðsson og Einar Gunnlaugsson, 1986c: Nesjavellir, hola NJ-13. Borun, rannsóknir og vinnslueiginleikar. Orkustofnun, OS-86028/JHD-07, 146 s. Unnið fyrir Hitaveitu Reykjavíkur.

Benedikt Steingrímsson, Guðmundur Ómar Friðleifsson, Guðrún Sverrisdóttir, Helga Tulinius, Ómar Sigurðsson og Einar Gunnlaugsson, 1986d: Nesjavellir, hola NJ-14. Borun, rannsóknir og vinnslueiginleikar. Orkustofnun, OS-86028/JHD-08, 133 s. Unnið fyrir Hitaveitu Reykjavíkur.

Benedikt Steingrímsson, Guðmundur Ómar Friðleifsson, Guðrún Sverrisdóttir, Helga Tulinius og Ómar Sigurðsson, 1986e: Nesjavellir, hola NJ-15. Borun rannsóknir og vinnslueiginleikar. Orkustofnun, OS-86029/JHD-09, 119 s. Unnið fyrir Hitaveitu Reykjavíkur.

Benedikt Steingrímsson, Guðrún Sverrisdóttir, Helga Tulinius, Hjalti Franzson, Ómar Sigurðsson og Einar Gunnlaugsson, 1986f: Nesjavellir, hola NJ-16. Borun, rannsóknir og vinnslueiginleikar. Orkustofnun, OS-86030/JHD-10, 149 s. Unnið fyrir Hitaveitu Reykjavíkur.

Benedikt Steingrímsson, Ásgrímur Guðmundsson, Hjalti Franzson and Einar Gunnlaugsson 1990: Evidence of a supercritical fluid at depth in the Nesjavellir field. In: *Proceedings, 15th Workshop on Geothermal Reservoir Engineering*, Stanford University: 81-87.

Benedikt Steingrímsson, Guðmundur Ómar Friðleifsson, Einar Gunnlaugsson, Guðjón Guðmundsson, Hjálmar Eysteinsson, og Ómar Sigurðsson 1993: Kolviðarhóll, hola KhG-1. Borun, rannsóknir og vinnslueiginleikar. Lokaskýrsla. Orkustofnun, OS-93007/JHD-03. 176 s. Unnið fyrir Hitaveitu Reykjavíkur.

Benedikt Steingrímsson, Hjalti Franzson, Hjálmar Eysteinsson, Ómar Sigurðsson og Einar Gunnlaugsson 1994: Nesjavellir, hola NJ-17. Borun, rannsóknir og vinnslueiginleikar.

Lokaskýrsla. Orkustofnun, OS-94005/JHD-01. 229 s. Unnið fyrir Hitaveitu Reykjavíkur.

Guðmundur Ómar Friðleifsson 1983: The geology and alteration history of the Geitafell Central Volcano, SE-Iceland. Doktorsritgerð, Edinborgarháskóli, 371s.

Halldóra Hreggviðsdóttir, 1987: The Greenschist to Amphibolite facies Transition in the Nesjavellir Hydrothermal System, Southwest Iceland. MSc. ritgerð við Stanford háskóla, 61 s.

Hjalti Franzson, Hilmar Sigvaldason 1985a: Nesjavellir Hola NG-8. Jarðlög, ummyndun, mælingar og vatnsæðar. Orkustofnun, Orkustofnun, OS-85120/JHD-16, 33 s. Unnið fyrir Hitaveitu Reykjavíkur.

Hjalti Franzson, Hilmar Sigvaldason 1985b: Nesjavellir Hola NG-7. Jarðlög, ummyndun, mælingar og vatnsæðar. Orkustofnun, OS-85124/JHD, 80 s. Unnið fyrir Hitaveitu Reykjavíkur.

Hjalti Franzson og Hilmar Sigvaldason, 1985c: Nesjavellir, hola NG-9. Jarðlög, ummyndun, mælingar og vatnsæðar. Orkustofnun, OS-85123/JHD-17, 38 s. Unnið fyrir Hitaveitu Reykjavíkur.

Hjalti Franzson, Ásgrímur Guðmundsson, Guðmundur Ó. Friðleifsson og Jens Tómasson, 1986: Nesjavellir high-temperature field SW-Iceland. Reservoir Geology, Proc. 5th International Symposium on Water-Rock Interaction, Reykjavík, Iceland: 23-27.

Hrefna Kristmannsdóttir og Jens Tómasson, 1974: Nesjavellir-hydrothermal Alteration in a high temperature area. International Symposium on Water-Rock Interaction, Prague, September 1974.

Jens Tómasson og Kristján Sæmundsson 1967: Borholur á Nesjavöllum, Raforkumálastjóri, 25 s.

Jens Tómasson, Guðmundur Guðmundsson og Stefán Arnórsson 1971: Jarðhitarannsóknir á Nesjavallasvæðinu. Orkustofnun, 31 s.

Jens Tómasson, Karl Grønvold, Hrefna Kristmannsdóttir og Þorsteinn Thorsteinsson 1974: Nesjavellir, hola 5. Orkustofnun, OS-JHD7423, 47 s.

Knútur Árnason, Guðmundur Ingi Haraldsson, Gunnar V. Johnsen, Gunnar Þorbergsson, Gylfi Páll Hersir, Kristján Sæmundsson, Lúðvík S. Georgsson og Snorri Páll Snorrason, 1986a. Nesjavellir. Jarðfræði og jarðeolísfræðileg könnun 1985. Orkustofnun, OS-86014/JHD-02, 125 s. Unnið fyrir Hitaveitu Reykjavíkur.

Knútur Árnason, Guðmundur Ingi Haraldsson, Gunnar V. Johnsen, Gunnar Þorbergsson, Gylfi Páll Hersir, Kristján Sæmundsson, Lúðvík S. Georgsson, Sigurður Th. Rögnvaldsson og Snorri Páll Snorrason, 1987: Nesjavellir - Ölkelduháls. Yfirborðsrannsóknir 1986. Orkustofnun, OS-87018/JHD-02, 98 s. Unnið fyrir Hitaveitu Reykjavíkur.

Peter Schiffman and Guðmundur Ómar Friðleifsson, 1991: The smectite-chlorite transition in drillhole NJ-15, Nesjavellir geothermal field, Iceland. XRD, BSE and electron microprobe investigations. J. Metamorphic Geol. vol 9: 679-696.

Valgarður Stefánsson, Jens Tómasson, Einar Gunnlaugsson, Hilmar Sigvaldason, Hjalti Franzson og Ómar Sigurðsson, 1983: Nesjavellir, hola NG-6. Borun, rannsóknir og vinnslueiginleikar. Orkustofnun, OS-83023/JHD-04, 100 s. Unnið fyrir Hitaveitu Reykjavíkur.

Valgarður Stefánsson, 1985: The Nesjavellir high temperature geothermal field in Iceland, Proc. 10th Workshop on Geothermal Reservoir Engineering. Stanford University, report SGP-TR-84: 23-30.

Valgarður Stefánsson, Jens Tómasson, Einar Gunnlaugsson, Hilmar Sigvaldason, Hjalti Franzson og Ómar Sigurðsson, 1983: Nesjavellir, hola NG-6; borun, rannsóknir og vinnslurannsóknir, Orkustofnun, OS-83024/JHD-04, 100 s. Unnið fyrir Hitaveitu Reykjavíkur.

Walker, GPL, 1960: Zeolite zones and dyke distribution in relation to the structure of basalts in Eastern Iceland. Journ. Geol., vol 68: 515-528.



## VIÐAUKI

**Tafla 2: Röðun útfellinga í holrými**

Tafla 2. Nesjavellir. Röðun útfellinga í holrými					
HOLA NG-6		ÞUNNSNEIÐAGREINING			
DÝPI	ELZTAR	STEINDIR		YNGSTAR	
40		stil	fsm	∞	
48		stil	fsm	∞	
54		stil	fsm	∞	
66		stil	fsm	∞	
		stil	fsm	∞	
74		stil	fsm	∞	
84		stil	fsm	∞	
94		stil	fsm	∞	
104		stil+py	stilb	∞	
124		zeol		∞	
		stil		∞	
		stil		∞	
		stil		∞	
		stil		∞	
		stil		∞	
		stil		∞	
164	fsm			∞	
	fsm			∞	
	fsm			∞	
	fsm			∞	
	fsm			∞	
	fsm			∞	
182		fjað zeol	cc	fsm	∞
194	fsm	zeol	m fsm		∞
		zeol	m fsm		∞
210	fsm	fjað zeol	cc	m fsm	
216	fsm	fjað zeol	m fsm		
225		fjað zeol	fsm		
236-252	turb cc	stil			cc
260-268		fjað zeol			cc
278-288		stil			cc
310	kals	Q			Sprunguflj
					Sprunguflj
					Sprunguflj
					Infrusv flj cc
320	cc+py	stil	finfj zeol	Q	
326		stil	finfj zeol		cc
		stil			cc
		stil			cc
		stil			cc
		stil			cc
		stil			cc
336		stilb			cc+py
		stil			cc+py
346	sm	stil			cc
	kaised	stil			cc
	kaised	stil			cc
366	fsm	thom	stil		cc
376		zeol	stil		
388	sm	zeol	stil	finfj zeol	cc
396	sm	zeol	stil		zeol+cc
404			stil		NB A68
412			stil		
			stil		
			stil		
456		anal	finfj zeol	anal/wair	cc
466		anal	finfj zeol	wair	
474		analc	finfj zeol	anal/wair	
		analc	finfj zeol	wair	
496	sm	stilb	finfj zeol		
508	fsm		finfj zeol		cc
			finfj zeol		cc



818	Q	farm		hfpleir	Q	wair					NB A6
824				leir	Q	wair	cc				
	Q			hfpleir	Q	wair	cc				
834	cc			hfpleir	Q	wair	cc				
				leir	Q	wair	cc				
				hfpleir	Q	wair	cc				
848	Leir				Q	wair					
				leir	Q	wair					
852	leir				Q	wair	cc				
	kalsed				Q	wair					
	leir				Q	wair					
	leir				Q	wair					
	kalsed				Q	wair					
	leir				Q	wair					
860	Q			hfpleir	Q	wair	cc				
	leir				Q	wair	cc				
868	cc	Q		hfpleir	Q	wair	cc				
882				hfpleir	Q	wair	cc				
				leir	Q	wair					
890					Q	wair	cc				
920					Q	wair					
			Q	ep							
930			Q		pre						
936		cc			Q	wair					
	leir				Q	wair	cc				
			Q		pre						
					Q	wair	cc				
940			cc		Q	wair	cc				
	leir				Q	wair	cc				
			ep		pre						
	leir				Q	wair	cc				
			Q		hfpl						
952			Q	leir	Q	wair	cc				
958					hfpleir	pre					
966				leir+ep	pre						
976		ep			hfpleir+pre						
988		ep									
	leir										
992	leir										
1000		ep			pre						
	leir										
1004				wo		Q	Q+wair				
1038						Q	wair				
1052		ep			pre						
		ep			pre						
		ep			pre						
		ep		woll							
1060	cc				klor						
1062					klor						
						Q					
1074	leir					wair					
1082				hfpleir		wair					
	leir					wair					









180		stilb			cc cc	NB cc æð sker í gegnum stilbinn
	kaised	fsm	stil		ee ee	mee/mord
220					ee ee	mee/mord
262	kaised				ee ee	mee/mord
	Kaised					
286						smæfi,zeol
320			finf,zeol umm			
346			finf,zeol umm			
				gem gsm gsm		
Ímonit	kaised					
Ímonit	kaised					
Ímonit						
370		þróð zeol	finf,zeol			
		þróð zeol				
400					walr walr walr	
		þróð zeol umm				
		stil umm				
<b>HOLA NG-9</b>						
<b>BUNNSNEÐAGREINING</b>						
DÝPI	STEINDIR					
156		analc				
		thom	stil			
			stil			
206			zeol(stil)			
			stil			
252	fsm		stil			
284				finf, zeol trans		
298				finf, zeol trans		
306					gleir	
348	kaised				gleir	
480	fsm	skól			gleir	
580					hfpleir	
602					finf, zeol umm	
630					finf, zeol trans	
	kaised					
660	kaised					
694	kaised					
734						
	kaised					
762						
	kaised					
788				gleir		
				gleir		
796			finf, zeol umm			
814						
838						





1576	ep	wo		gleir	pre	wo	cc	
	ep					Q		
<b>SVARFGREINING</b>								
276			heul still				∞	
332			heul+py	mesol			∞	
394				mesol			∞	
402				skol			∞	
428		heul					∞	
432				laum			∞	
434				laum			cc+py	
500			heul	skol			∞	
508		still					∞	
526		still					∞	
636		heul				Q		
706		still				Q		
734		still				Q		
830				laum+Walr			anal/walr H	
846							H	
866					klor	Q		
1476	ep				klor	Q		
1482						Q		
1578		wo			pre			
<b>HOLA NJ-13</b>								
<b>BUNNSNEIDAGREINING</b>								
DÝPI	STEINDIR							
398			still trans				walr	
464				laum trans	gleir			
494			anal trans		gleir			
644				laum trans		Q		
1040	wo						walr	?
1156	ep							cc
<b>SVARFGREINING</b>								
400			analic	mes				
698	kalsed					Q		
720	kalsed						walr	
748	kalsed	py						
1244	ep				pre			
<b>HOLA NJ-14</b>								
<b>BUNNSNEIDAGREINING</b>								
DÝPI	STEINDIR							
314			mord				cc	
354			það zeol umm					
506	ímonít	Q			leir	Q		
852	ep				pre	Q		
1046							cc+py	
1096	kalsed	fsm	kór+rep		klor	pre		
1128							walr	
<b>SVARFGREINING</b>								
134	kalsed						cc	
146		analic	kalsed					
200	Q			mord			NB ófug röð ?	
216	fsm			heul	mord	hfpleir		
254							cc	
264	sm							
606							walr	
886	klor	ep						
<b>HOLA NJ-15</b>								





1328		ep ep ep ep ep+pre ep					NB spr
1348	wo						NB spr
	wo						
		ep+pre ep	adul				
1370		ep+pre ep+walr					
1446		ep+pre ep ep+pre+Q					
1482		ep					
1546							
1556							
1616	wo						
1616	wo						
<b>HOLA NJ18</b>							
<b>HUNNSNEIDAGREINING</b>							
DÝPI	STEINDIR						
450	drog						
914		zeol trans		laum			
1188				laum trans klor			
1218				laum trans klor			
1234				laum trans			
1310				laum trans			
1392				laum trans			
1616				laum trans			
1686				laum um			
1896				laum um?			
1960							
<b>SVARFGREINING</b>							
816		anal	mes				
820		thom	mes				
1166	lcc						
1268				laum			
1280				laum			
1292					walr		
1294					walr		
1398	lcc				walr		
1420				laum			

<b>Skýringar</b>			
umm	Vökmandi steind ummynduð í steindina í næsta reit	zeol	Zeólit óskilgreint tegund
trans	Steind að hluta til ummynduð í steindina í næsta reit	mes	Mesólit
spr.	Sprungufling	smáfj.zeol	Smáfjaðraður zeólit
cc	Kalsít óskilgreint	fi. zeol	Friðraðra zeólit
cod	Lerborð kalsít	skol	Skólest
cce	Vel kristalloð kalsít (euheedral)	stil	Stibít
turb cc	Óregululega kristalloð kalsít	mes	Mesólit
ilcc	Plötukalsít	kabas	Kabasít
arag	Aragonít	mord	Mordenít
opall	Ópall	analc	Analásír
kaled	Kals	fj. zeol	Fjöldraður zeólit
Q	Kvars	laum	Laumontít
pre	Prenít	mud	
sph	Sphen	fsm set	Leirset í blöðrum
ep	Epidót	fam	Finkoma smekktí
amfib	amfibí	sm	Smekktí óskilgreint
woll	wo	leir	Leir óskilgreint
orthokl	gr	mfsm	Meðalftaðrað smekktí
	or	gleir	Gróftaðra leir (smekktí/blandlag/kóffí)
hematit	Hematít	gsm	Gróftaðrað smekktí og/eða blandleir
limonit	lím	bleir	híptleir
oxun	oxun	gpleoleir	Liklegast blandleir
PY	Pyrit (súlfó)	kír	kl
		daugkleir	Liklegast klóritt